



Corso Luigi Einaudi, 55 - Torino

Appunti universitari

Tesi di laurea

Cartoleria e cancelleria

Stampa file e fotocopie

Print on demand

Rilegature

NUMERO: 2039A -

ANNO: 2016

A P P U N T I

STUDENTE: Salomone Lorenzo

MATERIA: Scienza delle costruzioni 2 - Prof. Ferro

Il presente lavoro nasce dall'impegno dell'autore ed è distribuito in accordo con il Centro Appunti.

Tutti i diritti sono riservati. È vietata qualsiasi riproduzione, copia totale o parziale, dei contenuti inseriti nel presente volume, ivi inclusa la memorizzazione, rielaborazione, diffusione o distribuzione dei contenuti stessi mediante qualunque supporto magnetico o cartaceo, piattaforma tecnologica o rete telematica, senza previa autorizzazione scritta dell'autore.

**ATTENZIONE: QUESTI APPUNTI SONO FATTI DA STUDENTIE NON SONO STATI VISIONATI DAL DOCENTE.
IL NOME DEL PROFESSORE, SERVE SOLO PER IDENTIFICARE IL CORSO.**

POLITECNICO DI TORINO

Dipartimento di ing. Strutturale, Edile e Geotecnica

INSEGNAMENTO SCIENZE DELLE COSTRUZIONI II

a.a. 2015/2016



APPUNTI DEL CORSO

Studente Salomone Lorenzo

Professore Giuseppe Andrea Ferro

IL METODO DEGLI SPOSTAMENTI

Prof. Ing. Giuseppe Andrea FERRO
Politecnico di Torino

29 settembre 2014

IL METODO DEGLI SPOSTAMENTI

INDICE

- Impostazione metodologica
- Sistemi di bielle in parallelo
- Matrice di rigidezza per la singola trave
- Esempi di risoluzione strutture iperstatiche col MdS
- Ricadute teoriche

RISCHIO SISMICO

Il Metodo degli Spostamenti è il duale del Metodo delle Forze.

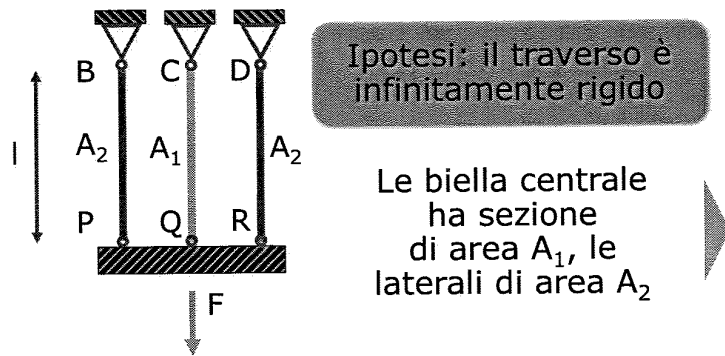
Si tratta di individuare quell'unico insieme di parametri cinematici che, oltre alla congruenza, implichi anche l'equilibrio.

Il MdS consiste nell'imporre alcuni spostamenti o rotazioni, caratteristici del sistema, in modo tale che le $(v - g)$ reazioni iperstatiche soddisfino $(v - g)$ relazioni di equilibrio.

IL METODO DEGLI SPOSTAMENTI

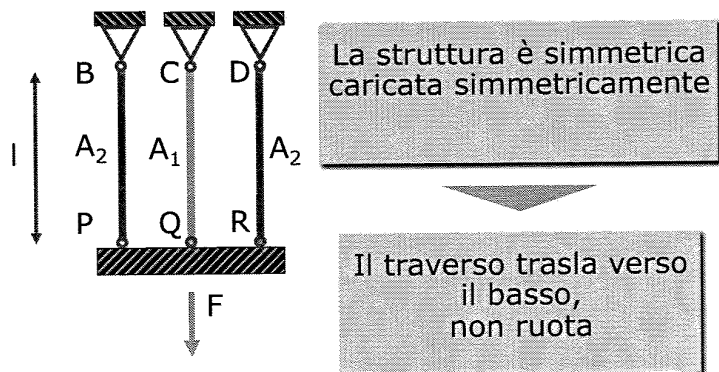


IL METODO DEGLI SPOSTAMENTI



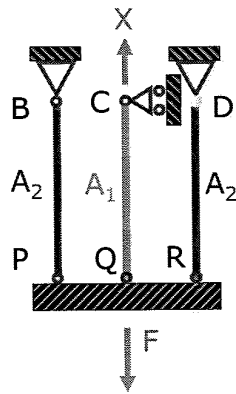
Le bielle centrali ha sezione di area A_1 , le laterali di area A_2

IL METODO DEGLI SPOSTAMENTI



Il traverso trasla verso il basso, non ruota

IL METODO DEGLI SPOSTAMENTI



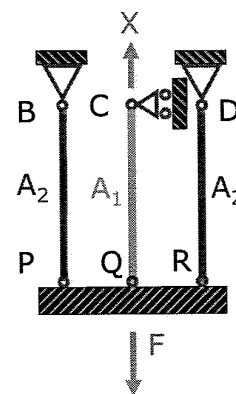
Per effetto di X il punto C si sposta di

$$v_c(X) = -\frac{l}{EA_2} \frac{X}{2} - \frac{l}{EA_1} X$$

Per effetto di F il punto C si sposta di

$$v_c(F) = +\frac{l}{EA_2} \frac{F}{2}$$

IL METODO DEGLI SPOSTAMENTI



Equazione di congruenza

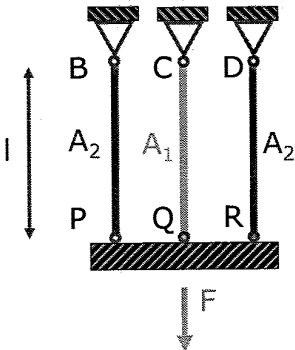
$$v_c = 0$$

$$X = \frac{A_1}{A_1 + 2A_2} F = N_{CQ}$$

$$N_{BP} = N_{DR} = \frac{A_2}{A_1 + 2A_2} F$$

IL METODO DEGLI SPOSTAMENTI

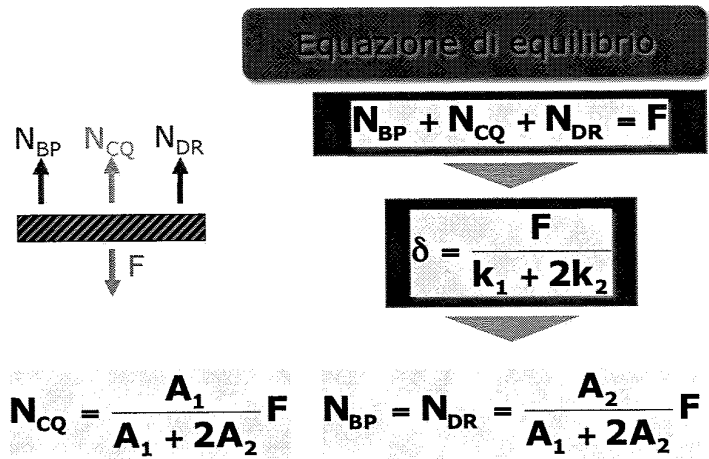
Risoluzione con il metodo degli spostamenti



$$v_p = v_q = v_r = \delta$$

La struttura è 1 volta cinematicamente indeterminata

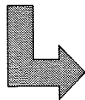
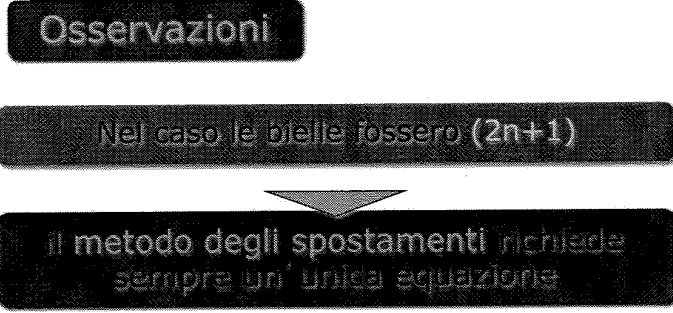
IL METODO DEGLI SPOSTAMENTI



IL METODO DEGLI SPOSTAMENTI



IL METODO DEGLI SPOSTAMENTI



MATRICE DI RIGIDEZZA DELLA TRAVE

Il metodo delle forze

Per scrivere le equazioni di **congruenza** era necessario conoscere gli **spostamenti** di alcuni schemi elementari **isostatici (staticamente determinati)** per effetto di **forze o momenti**

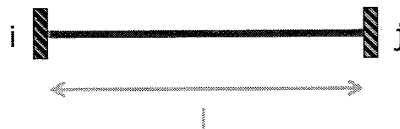
MATRICE DI RIGIDEZZA DELLA TRAVE

Il metodo degli spostamenti

Per scrivere le equazioni di **equilibrio** è necessario conoscere le **reazioni** di alcuni schemi elementari **cinematicamente determinati** per effetto di **cedimenti vincolari**

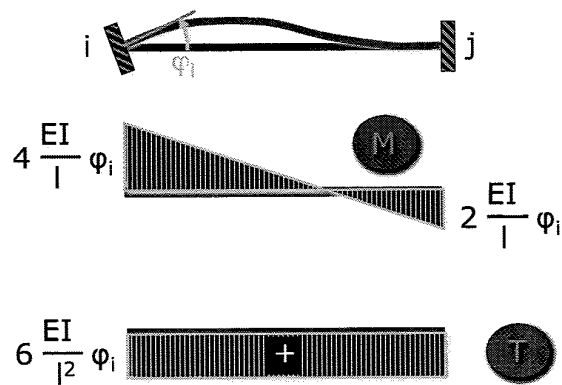
MATRICE DI RIGIDEZZA DELLA TRAVE

Trave doppiamente incastrata

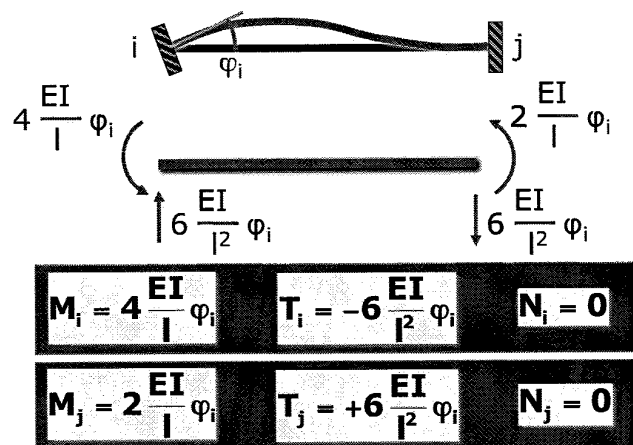


Occorre calcolare le reazioni vincolari per effetto di cedimenti vincolari (spostamenti nodali) imposti

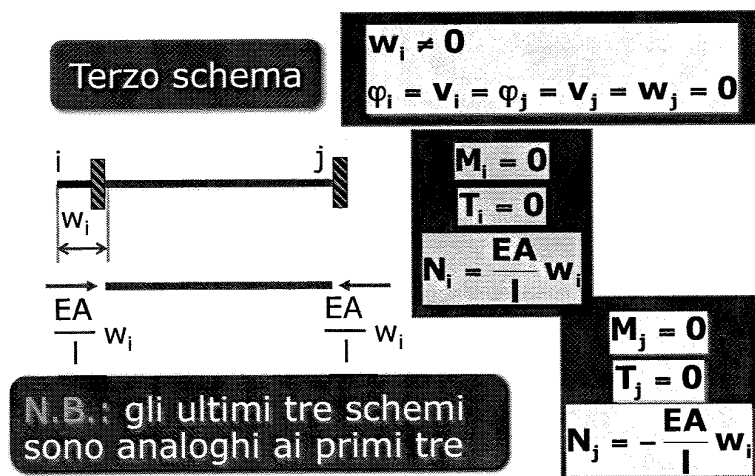
MATRICE DI RIGIDEZZA DELLA TRAVE



MATRICE DI RIGIDEZZA DELLA TRAVE

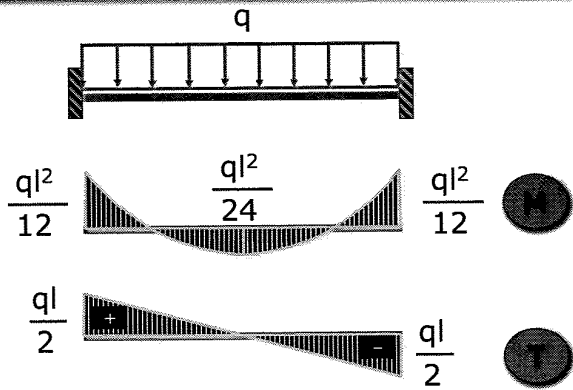


MATRICE DI RIGIDEZZA DELLA TRAVE



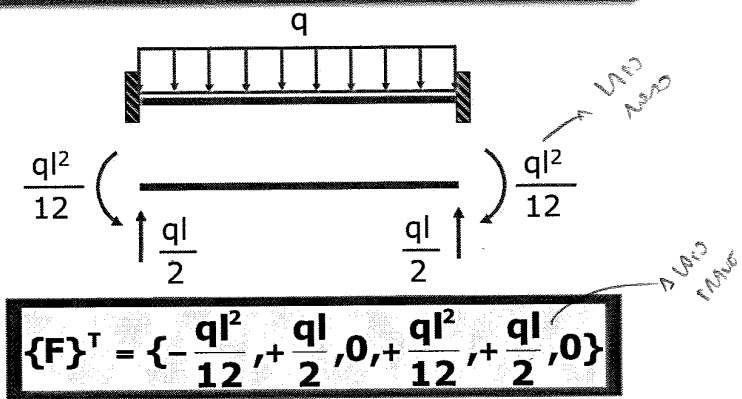
MATRICE DI RIGIDEZZA DELLA TRAVE

Carico uniformemente distribuito q



MATRICE DI RIGIDEZZA DELLA TRAVE

Carico uniformemente distribuito q



RISOLUZIONE DI TELAI COL METODO DEGLI SPOSTAMENTI

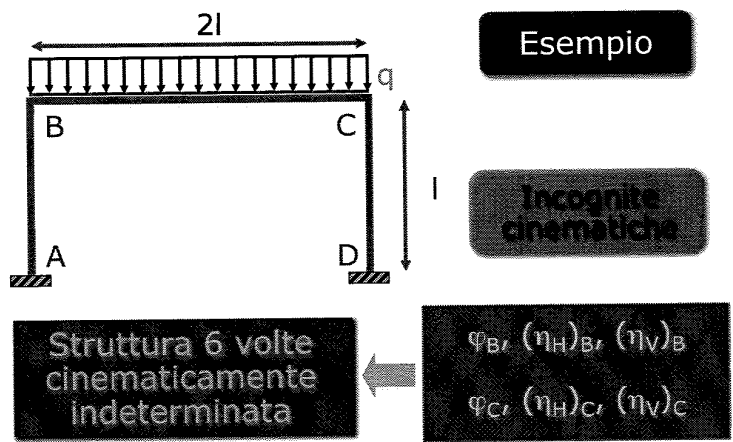


RISOLUZIONE DI TELAI COL METODO DEGLI SPOSTAMENTI

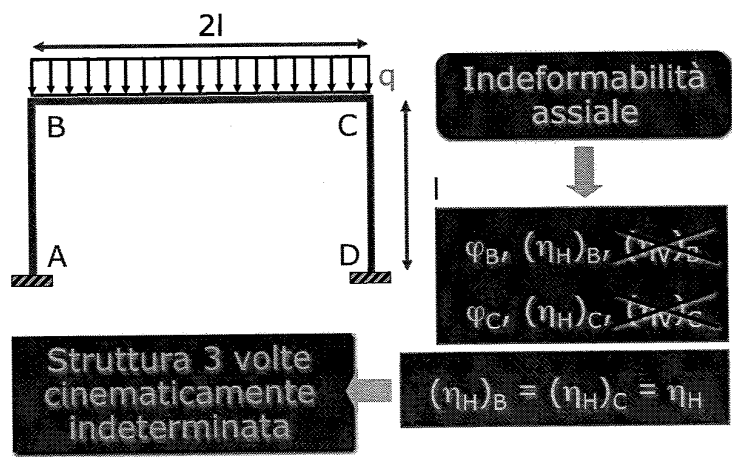
Il metodo degli spostamenti

Tra le ∞^5 soluzioni cinematicamente ammissibili (congruenti) si sceglie l'unica che rispetti anche l'equilibrio

RISOLUZIONE DI TELAI COL METODO DEGLI SPOSTAMENTI

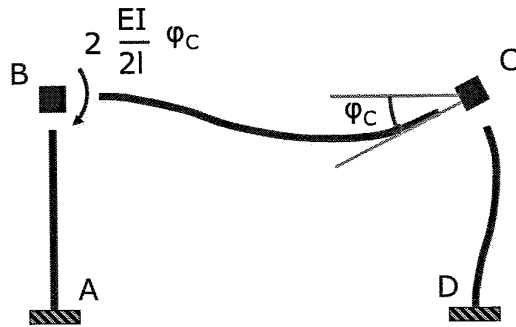


RISOLUZIONE DI TELAI COL METODO DEGLI SPOSTAMENTI



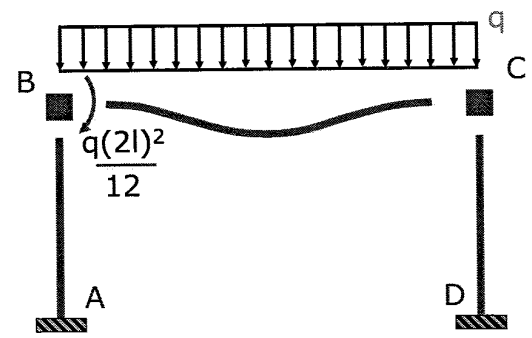
RISOLUZIONE DI TELAI COL METODO DEGLI SPOSTAMENTI

Rotazione φ_C



RISOLUZIONE DI TELAI COL METODO DEGLI SPOSTAMENTI

Carico esterno



RISOLUZIONE DI TELAI COL METODO DEGLI SPOSTAMENTI

Equazioni di equilibrio alla rotazione del nodo B

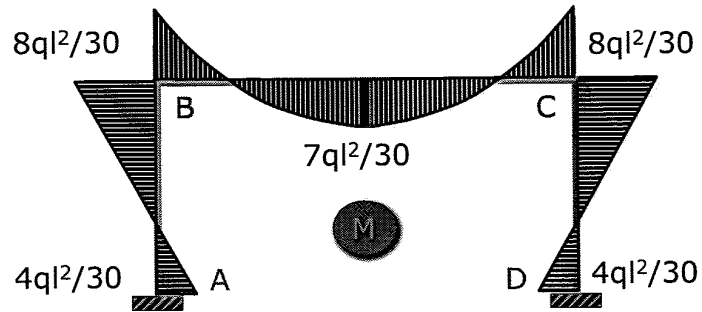
$$4 \frac{EI}{2l} \varphi_B + 4 \frac{EI}{l} \varphi_B + 2 \frac{EI}{2l} \varphi_C + \frac{q(2l)^2}{12} = 0$$

Per simmetria
 $\varphi_C = -\varphi_B$



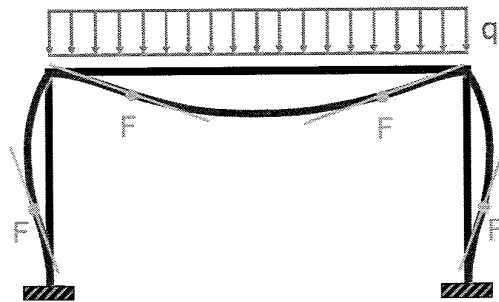
$$\varphi_B = -\frac{1}{15} \frac{ql^3}{EI}$$

RISOLUZIONE DI TELAI COL METODO DEGLI SPOSTAMENTI



RISOLUZIONE DI TELAI COL METODO DEGLI SPOSTAMENTI

Configurazione deformata



RISOLUZIONE DI TELAI COL METODO DEGLI SPOSTAMENTI

Osservazioni

**Nella struttura considerata,
il metodo delle forze richiede
2 equazioni di congruenza,
il metodo degli spostamenti
1 equazione di equilibrio**

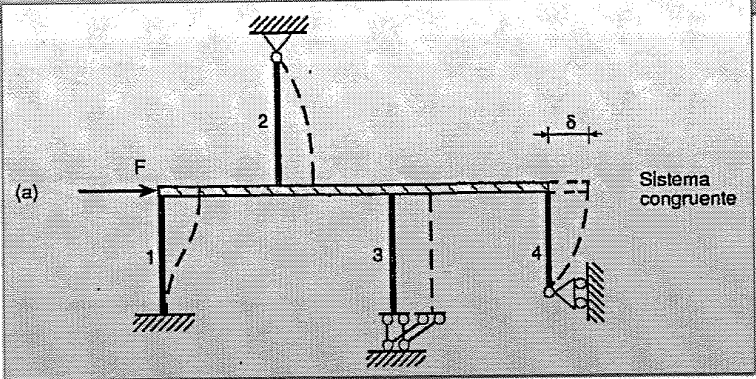
IL METODO DEGLI SPOSTAMENTI

SISTEMI DI TRAVI IN PARALLELO

IL METODO DEGLI SPOSTAMENTI

SISTEMI DI TRAVI IN PARALLELO

Si consideri un traverso rigido orizzontale, vincolato al suolo da una serie di piedritti di varia lunghezza, diverso momento di inerzia e costituiti da materiali diversi.
 Il traverso orizzontale sia sollecitato da una forza orizzontale F.



IL METODO DEGLI SPOSTAMENTI

SISTEMI DI TRAVI IN PARALLELO

A deformazione avvenuta, il traverso risulterà traslato orizzontalmente della quantità δ , così come le estremità dei piedritti.
 Per la congruenza si ha:

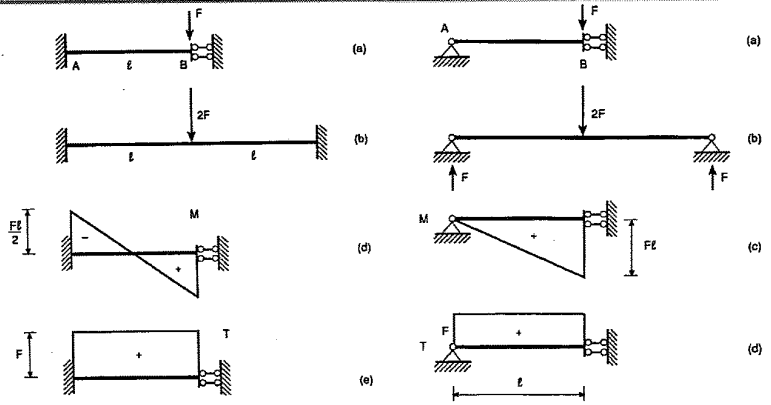
$$\delta_i = \frac{T_i \ell_i^3}{c_i E_i I_i} = \delta,$$

dove T_i è il taglio trasmesso al traverso dal piedritto i -esimo, ℓ_i , I_i , E_i sono le caratteristiche dello stesso piedritto, mentre c_i è un coefficiente numerico dipendente dal vincolo con cui il piedritto è vincolato al suolo.

IL METODO DEGLI SPOSTAMENTI

SISTEMI DI TRAVI IN PARALLELO

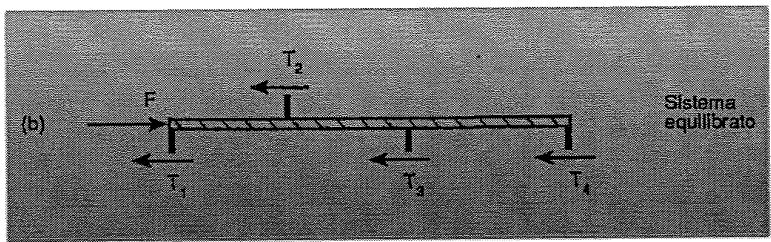
Imposto lo spostamento δ_p , si ricava la reazione iperstatica di taglio T_p . Invertendo i ruoli è possibile applicare la forza T_p e ricavare lo spostamento elastico δ_p . È sufficiente considerare rispettivamente gli schemi per il calcolo dei coefficienti c_1 e $c_2 = c_4$.



IL METODO DEGLI SPOSTAMENTI

SISTEMI DI TRAVI IN PARALLELO

L'equazione risolvente è quella di equilibrio alla traslazione orizzontale del traverso:



$$F = \sum_i T_i$$

IL METODO DEGLI SPOSTAMENTI

SISTEMI DI TRAVI IN PARALLELO

Da cui si ottiene:

$$\delta_i = \frac{T_i \ell_i^3}{c_i E_i I_i} = \delta$$

$$\delta = \frac{F}{\sum_i \frac{c_i E_i I_i}{\ell_i^3}} = \frac{F}{K}$$

la rigidezza totale K fornita dalla sommatoria delle rigidezze parziali. Le reazioni iperstatiche T_i sono esprimibili come:

$$T_i = F \frac{\frac{c_i E_i I_i}{\ell_i^3}}{\sum_i \frac{c_i E_i I_i}{\ell_i^3}} = F \frac{K_i}{K}$$

Il rapporto K_i/K è il coefficiente di ripartizione a taglio.

CONCETTO ASSO SOTTILESSO: SI FISSA UN VEICOLI DI RIFERIMENTO E PER OGNI SEZIONE SI DETERMINA UNA TERNA DI RIFERIMENTO INTERNAZIONALE SINISTRAZZA

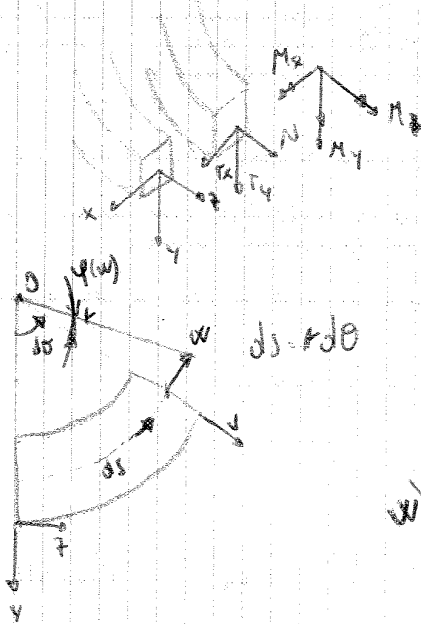
INADUNTE, ASSIALE, BIASSIALE (QUALUNQUE NON SIA SEZIONE)
 ASSO Z

CAMPONESTICHE

DELLAZIONE: SPORTE NORMALE N

TAGLIO T_y + TAGLIO T_x

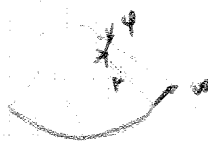
MOMENTO TORSIONE M_t + MOMENTO FLESSIONE M_y
 + MOMENTO FLESSIONE M_x



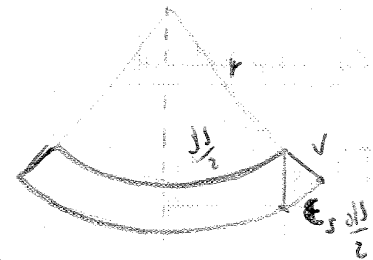
EQ. CINEMATICHE

SPOSTAMENTO ASSIALE W →
 SPOSTAMENTO RADIALE V

1)



2)



$$1. \quad \epsilon = \frac{dw}{ds} \quad \phi = \frac{w}{R}$$

SIMILITUDINE IN TRIANGOLI

$$\frac{v/2}{R/2} = \frac{v}{R} \frac{\phi/2}{\phi} \rightarrow \epsilon = \frac{v}{R} \quad 1.5$$

$$2. \quad \epsilon = \frac{dw}{ds} + \frac{v}{R}$$

PER QUANTO RIGUARDA LA DEFORMAZIONE ANGOLARE LA CAUSA E' LO SPORTESSO (CHE NON DETERMINANO UNA VARIAZIONE OLTRE AL TAGLIO E AL MOMENTO) E LO SPORTESSO (UNO DEI COORDINATA z(w))

SE SI OSSERVA SI VEDI COME UNO SPORTESSO W PRODUCA UNO SPORTESSO ANGOLARE phi(w)

$$w = -\frac{\phi(w) R}{R} \quad \phi = -\frac{w}{R}$$

QUINDI LA VARIAZIONE ANGOLARE TOTALE (O CHE NON SIA) $\gamma = -\frac{w}{R} + \frac{\partial v}{\partial s} + \phi_x$

MENTRE LA VARIAZIONE DI CURVATURA RIMANE SEMPRE $\chi = \frac{\partial \phi}{\partial s}$

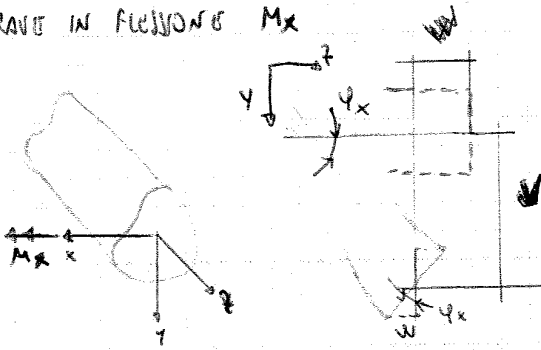
(S) ALORA CHE OGGI TO ABBE UNIFORME SI FA UN CAMBIO DI COORDINATE DI RIFERIMENTO ds -> ds)

$$\begin{Bmatrix} \epsilon \\ \gamma \\ \chi \end{Bmatrix} = \begin{Bmatrix} \frac{\partial}{\partial s} & +\frac{1}{R} & 0 \\ -\frac{1}{R} & \frac{\partial}{\partial s} & +1 \\ 0 & 0 & \frac{\partial}{\partial s} \end{Bmatrix} \begin{Bmatrix} w \\ v \\ \phi_x \end{Bmatrix}$$

EQ. CINEMATICHE
 CAMPONESTICHE X-FORMATIVE

LASTRE PIANE

TRAVE IN FLESSIONE M_x



$$dv = \varphi_x dz \rightarrow \varphi_x = -\frac{dv}{dz}$$

$$dw = \varphi_x y \rightarrow w = -\frac{dv}{dz} y$$

$$\epsilon_z = \frac{\partial w}{\partial z} = -\frac{\partial^2 v}{\partial z^2} y \xrightarrow{\times E} \sigma_z = -E \frac{\partial^2 v}{\partial z^2} y$$

$$M_x = \int_A \sigma_z \cdot y \cdot dA = E \cdot \left(-\frac{\partial^2 v}{\partial z^2} \right) \cdot \int_A y^2 dA$$

→ MOMENTO D'INERTIA

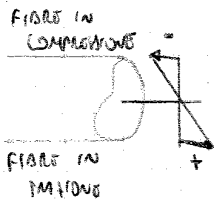
$$M_x = E \left(\frac{\partial^2 v}{\partial z^2} \right) I_x$$

$$\chi_x = +\frac{\partial^2 v}{\partial z^2}$$

$$\chi_x = -\frac{M_x}{EI_x} \rightarrow \boxed{\sigma_z = +\frac{M_x}{I_x} y}$$

FORMULA DI NAVIER

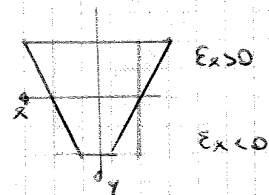
STATO TENSIONALE MONO ASSIALE



LO STATO DEFORMAZIONE INVECE È PLURI ASSIALE
(DUE PER COMPONENTE)

$$\epsilon_x = \epsilon_y = -\nu \epsilon_z = -\nu \frac{M_x}{EI_x} \cdot y$$

DEFORMAZIONI ANTI-CONSISTENTE



MA TANTE VOLTE LEGGE DI HOOKE O COMPLESSO LA SEZIONE
MA SE TALI LEGGE FORSE UNITE (O NON SAREBBE POSSIBILE
X ISTRUZIONI DI NON COMPENSAZIONI O DISALLINEAMENTO

PIU' GIUSTA
BASSA DIGNA

LE DEFORMAZIONI ANTI-CONSISTENTE SONO OBLIQUATE A CAUSARE ANTI-CALANTI



CONTINUITA' DELL'EFFETTO PULSION X NORMALE
LA COMPONENTE

LA DEFORMAZIONE IN DIREZIONE Y

NECESSARI UNICI CARICHI FORTE IN CASO DI CONTINUARE L'EFFETTO
PULSION E MANTENERE LE SEZIONI NORMALI ALLA SUPERFICIE DELLA
LAVIA

SOPRANNO
LAVIA
IN CASO
SU UN ANNO
CONCAVA
CONCAVAMENTE
CON FORZA F

$$\epsilon_x = \frac{1}{E} (\sigma_x - \nu \sigma_y) \quad (\sigma_z = 0) \rightarrow \sigma_y = \nu \sigma_x$$

$$\epsilon_y = \frac{1}{E} (\sigma_y - \nu \sigma_x) = 0$$

$$\epsilon_x = \frac{1}{E} (\sigma_x - \nu(\nu \sigma_x)) = \frac{1-\nu^2}{E} \sigma_x \rightarrow E' = \frac{E}{(1-\nu^2)}$$

$$E' > E$$

LA MODULAZIONE DELLA LAVIA È
MAGGIORE PERCHÉ MAI NELLE
STESSE CONDIZIONI.

LO STATO TENSIONALE NELLA REALTÀ NON È PIU' PIANO
MA AVENDO SOSPESO UNA SPERDA E ALLORA POSSIAMO
ELIMINARE LE TENSIONI IN DIREZIONE z

PER LO STATO TENSIONALE PIANO LE EQ COSTITUTIVE DIVENTANO

1 $\epsilon_x = \frac{1}{E} (\sigma_x - \nu \sigma_y)$

2 $\epsilon_y = \frac{1}{E} (\sigma_y - \nu \sigma_x)$

3 $\gamma_{xy} = \frac{1}{G} \tau_{xy}$

È UNO STATO DETERMINATO PIANO CHE NON IMPLICA UNO STATO TENSIONALE PIANO MA X LE IPOTESI DI h PICCOLO POSSIAMO DEFINIRE PIANO ANCHE LO STATO TENSIONALE

1 $\sigma_x - \nu \sigma_y = E \epsilon_x$

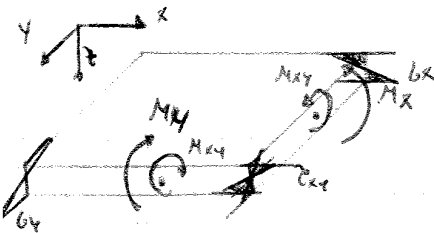
2 → 1 $\sigma_x - \frac{E \nu}{G} \tau_{xy} - \nu \sigma_x = \frac{E \nu}{G} \tau_{xy}$

2 → $\nu \sigma_y - \nu \sigma_x = \frac{E \nu}{G} \tau_{xy}$

$$\begin{cases} \sigma_x = \frac{E}{1-\nu^2} (\epsilon_x + \nu \epsilon_y) \\ \sigma_y = \frac{E}{1-\nu^2} (\epsilon_y + \nu \epsilon_x) \\ \tau_{xy} = \frac{E}{2(1+\nu)} \gamma_{xy} \end{cases} \quad \begin{cases} \sigma_x = \frac{E}{1-\nu^2} (\chi_x + \nu \chi_y) \epsilon \\ \sigma_y = \frac{E}{1-\nu^2} (\chi_y + \nu \chi_x) \epsilon \\ \tau_{xy} = \frac{E}{2(1+\nu)} \chi_{xy} \epsilon \end{cases}$$

$$\begin{cases} \sigma_x = -\frac{E}{1-\nu^2} \left(\frac{\partial^2 W}{\partial x^2} + \frac{\partial^2 W}{\partial y^2} \nu \right) \epsilon \\ \sigma_y = -\frac{E}{1-\nu^2} \left(\frac{\partial^2 W}{\partial y^2} + \frac{\partial^2 W}{\partial x^2} \nu \right) \epsilon \\ \tau_{xy} = -\frac{E}{2(1+\nu)} \left(2 \frac{\partial^2 W}{\partial x \partial y} \right) \epsilon \end{cases}$$

OSSERVANDO I MOMENTI AGENTI SUL CONCIO



$M_x = \int_{-h/2}^{h/2} \sigma_x z dz \rightarrow M_x = \frac{E h^3}{12(1-\nu^2)} (\chi_x + \nu \chi_y)$

$M_y = \int_{-h/2}^{h/2} \sigma_y z dz \rightarrow M_y = \frac{E h^3}{12(1-\nu^2)} (\chi_y + \nu \chi_x)$

$M_{xy} = \int_{-h/2}^{h/2} \tau_{xy} z dz \rightarrow M_{xy} - M_{yx} = \frac{E h^3}{12(1-\nu^2)} \left(\frac{1-\nu}{2} \right) \chi_{xy}$

$D = \frac{E h^3}{12(1-\nu^2)} = \text{RIGIDEZZA FLESSIONALE PIASTRA}$

$$\begin{aligned} &= \int \frac{E}{2(1+\nu)} (\chi_x + \nu \chi_y) z^2 dz = \\ &= \frac{E}{2(1+\nu)} (\chi_x + \nu \chi_y) \frac{z^3}{3} \Big|_{-h/2}^{h/2} = \\ &= \frac{h^3}{12} \frac{E}{(1-\nu^2)} \cdot \frac{(1+\nu)}{2} \chi_{xy} \end{aligned}$$

EQ STATICHE IN FORM. MATERIALE

PROBLEMA EUSTICO DELLO STATO PIANO IPERELASTICO

$$\begin{Bmatrix} \frac{\partial}{\partial x} & \frac{\partial}{\partial y} & 0 & 0 & 0 \\ -1 & 0 & \frac{\partial}{\partial x} & 0 & \frac{\partial}{\partial y} \\ 0 & -1 & \frac{\partial}{\partial y} & \frac{\partial}{\partial x} & \frac{\partial}{\partial x} \end{Bmatrix} \begin{Bmatrix} T_x \\ T_y \\ M_x \\ M_y \\ M_{xy} \end{Bmatrix} + \begin{Bmatrix} q \\ 0 \\ 0 \end{Bmatrix} = \begin{Bmatrix} 0 \\ 0 \\ 0 \end{Bmatrix}$$

ABBIAAMO 3 EQ CON 5 INCIGNITE (LE COSTITUZIONI O EQUAZIONI)

CONSIDERANDO UNA DEI SPOSTAMENTI ANGOLARI γ_x o γ_y DOVUTI AGLI STATI TAGLIANTI T_x o T_y POSSIAMO SCRIVERE LE EQUAZIONI COSTITUTIVE

$$\begin{Bmatrix} T_x \\ T_y \\ M_x \\ M_y \\ M_{xy} \end{Bmatrix} = \begin{Bmatrix} \frac{5}{6} G h & 0 & 0 & 0 & 0 \\ 0 & \frac{5}{6} G h & 0 & 0 & 0 \\ 0 & 0 & D & \nu D & 0 \\ 0 & 0 & \nu D & D & 0 \\ 0 & 0 & 0 & 0 & \frac{1-\nu D}{2} \end{Bmatrix} \begin{Bmatrix} \gamma_x \\ \gamma_y \\ \chi_x \\ \chi_y \\ \chi_{xy} \end{Bmatrix}$$

EQ COSTITUTIVE
 $\frac{5}{6}$ È IL FATTORE INVERSO DEL FATTORE DI POISSON RIVOLTO AD UNA SEZIONE RETTANGOLARE DI BASE UNITARIA E ALTEZZA h

LE EQ. CINEMATICHE DEFINISCONO LE CARATTERISTICHE DEFORMATIVE IN FUNZIONE DEGLI SPOSTAMENTI GENERALIZZATI

$$\begin{Bmatrix} \gamma_x \\ \gamma_y \\ \chi_x \\ \chi_y \\ \chi_{xy} \end{Bmatrix} = \begin{Bmatrix} \frac{\partial}{\partial x} & +1 & 0 \\ \frac{\partial}{\partial y} & 0 & +1 \\ \frac{\partial}{\partial x} & 0 & 0 \\ 0 & \frac{\partial}{\partial x} & 0 \\ 0 & 0 & \frac{\partial}{\partial y} \\ 0 & \frac{\partial}{\partial y} & \frac{\partial}{\partial x} \end{Bmatrix} \begin{Bmatrix} w \\ \varphi_x \\ \varphi_y \end{Bmatrix}$$

$$\begin{aligned} \gamma_x &= \frac{\partial w}{\partial x} + \varphi_x \left(-\frac{\partial w}{\partial x}\right) \\ \gamma_y &= \frac{\partial w}{\partial y} + \varphi_y \left(\frac{\partial w}{\partial y}\right) \\ \chi_x &= \frac{\partial \varphi_x}{\partial x} \\ \chi_y &= \frac{\partial \varphi_y}{\partial y} \\ \chi_{xy} &= \frac{\partial \varphi_x}{\partial y} + \frac{\partial \varphi_y}{\partial x} \end{aligned}$$

IN FORM. COMPACTA

EQ STATICHE $\{a\}^T \{a\} + \{b\} = 0$ $\{a\}^T [H] \{a\} + \{b\} = 0$
 EQ CINEMATICHE $\{a\} = [H] \{q\}$ $\{a\} = [H] \{a\} \{m\}$ OPERAZIONE INVERSE $\{a\}$
 EQ CINEMATICHE $\{q\} = [D] \{m\}$

$$[D] \{m\} = -\{f\} + \text{CONDIZIONI AL LIMITE} + \text{CONDIZIONI AL LIMITE STATICHE}$$

TELAI A NODI SPOSTABILI



LASTRE PIANE INFLESSE



La soluzione dell'equazione di Sophie Germain:

$$\nabla^4 w = \frac{q}{D}$$

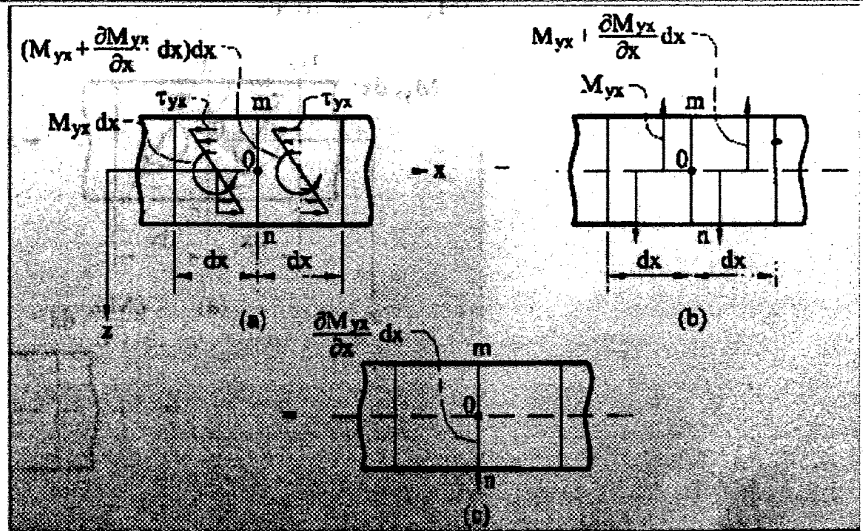
richiede che siano soddisfatte per ciascun bordo due condizioni al contorno che possono essere di tipo cinematico (abbassamenti o rotazioni), di tipo statico (forze o momenti) o miste.

LASTRE PIANE INFLESSE

Bordo libero ($y=b$) se non ci sono forze applicate le risultanti di delle forze e dei momenti si annullano

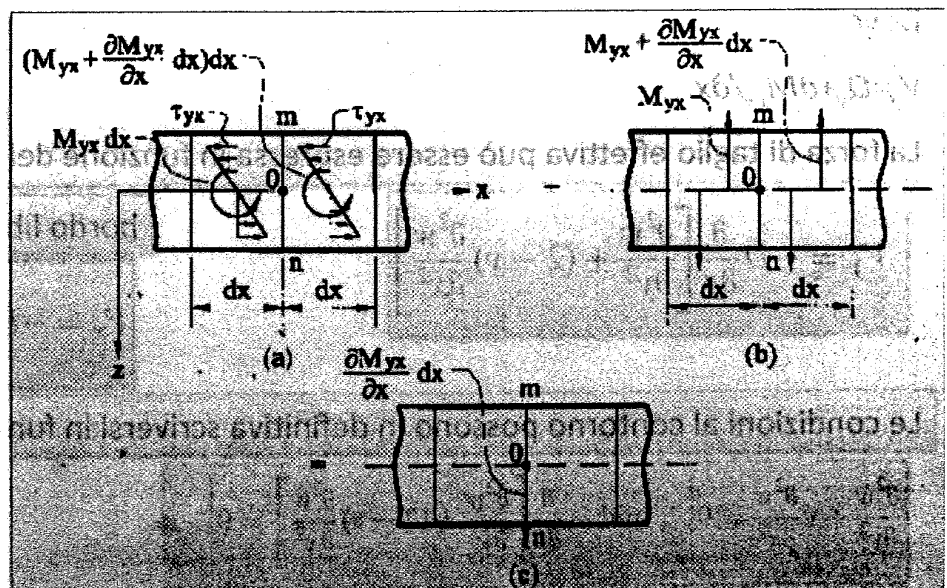
$$M_y=0, Q_y=0 \text{ e } M_{yx}=0$$

che fornirebbero tre condizioni al contorno, troppe rispetto a quelle necessarie per l'equazione differenziale. Le condizioni imposte sul momento torcente e sul tagli non sono indipendenti e possono ridursi ad un'unica condizione.



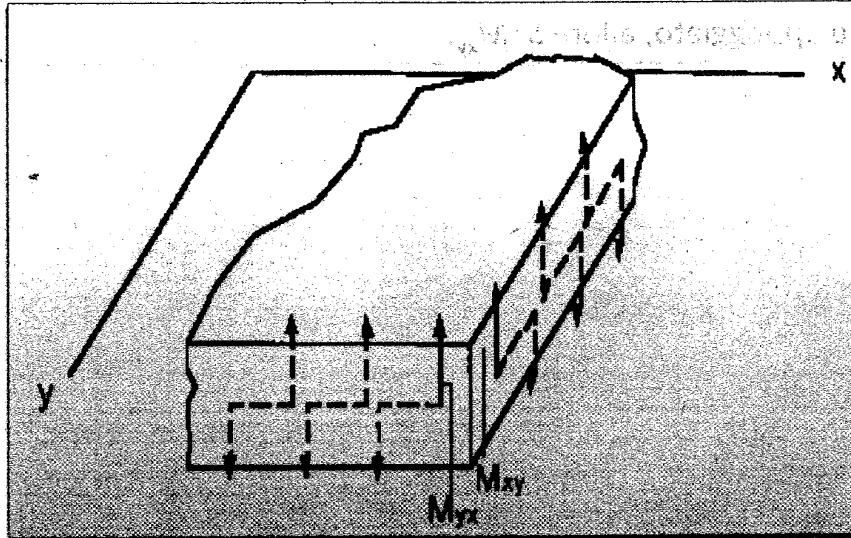
LASTRE PIANE INFLESSE

In figura sono mostrati due elementi adiacenti, ciascuno di lunghezza dx appartenenti al bordo $y=b$. Si può osservare come l'elemento a destra sia soggetto a $(M_{yx} + \frac{\partial M_{yx}}{\partial x} dx) dx$. Questi momenti derivano da coppie prodotte da un sistema di tensioni da taglio orizzontali τ_{yx} . Possono staticamente essere sostituiti con coppie di forze verticali M_{yx} e $M_{yx} + \frac{\partial M_{yx}}{\partial x} dx$ aventi lo stesso momento risultante



LASTRE PIANE INFLESSE

Si noti che trasformando il momento torcente, si ottengono non soltanto forze distribuite lungo il bordo V_x e V_y , ma anche forze concentrate nei punti angolari (su ciascun lato del vertice) di una piastra rettangolare diverse da zero. Queste sono numericamente uguali al valore della corrispondente coppia torcente. La direzione e l'intensità della forza d'angolo può essere stabilita analizzando le condizioni al contorno della piastra e l'abbassamento prodotto dal carico assegnato.



LASTRE PIANE INFLESSE

Il concetto delle forze d'angolo non è limitato all'intersezione di due bordi liberi, dove ovviamente tali forze sono nulle. In generale, qualunque angolo dove almeno una dei due bordi può sviluppare M_{xy} e M_{yx} avrà una forza d'angolo.

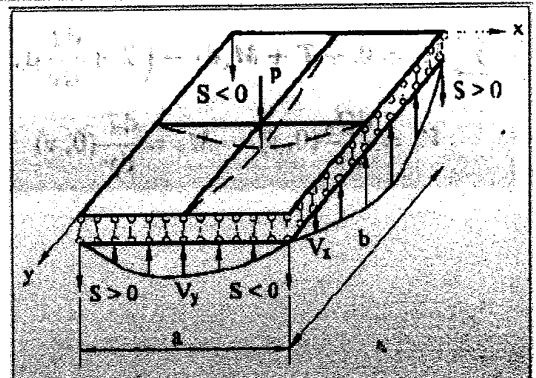
Si consideri come esempio il caso di una piastra simmetricamente caricata semplicemente appoggiata.

Nell'angolo $x=a$ e $y=b$ il momento torcente risulta:

$$S = 2M_{xy} = -2D(1-\nu) \frac{\partial^2 w}{\partial x \partial y}$$

Allora, i momenti torcenti sono staticamente equivalenti a forze di bordo distribuite pari a $\partial M_{yx}/\partial x$ e $\partial M_{xy}/\partial y$ su tutta la frontiera della lastra, oltre che a forze concentrate agli spigoli pari a $S=2M_{xy}$ per una data piastra rettangolare.

Si osservi che la direzione della forza concentrata allo spigolo S mostrata in figura per un carico simmetrico diretto verso il basso. Ad ogni spigolo il segno di M_{xy} si alterna, ma le forze saranno sempre dirette verso il basso per carichi simmetrici



LASTRE PIANE INFLESSE

Relativamente ad un punto della lastra inflessa, si dicono *direzioni principali dei momenti* quelle due direzioni ortogonali secondo cui si annulla il momento torcente M_{xy} e quindi si annullano le tensioni tangenziali τ_{xy} . Tali direzioni coincidono quindi con quelle principali delle tensioni.

Si dicono invece *direzioni principali delle curvature*, quelle due direzioni ortogonali secondo cui si annulla l'angolo unitario di torsione $\chi_{xy}/2$.

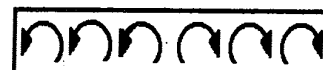
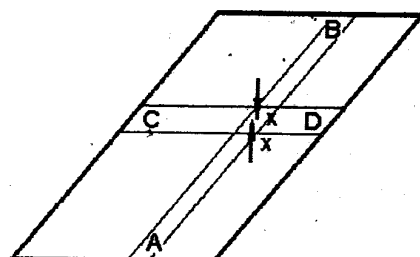
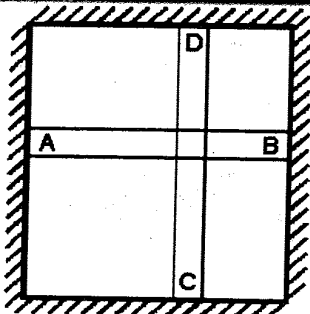
Nel caso in cui il materiale si supponga isotropo, l'equazione costitutiva mostra come le direzioni principali dei momenti e le direzioni principali delle curvature debbano coincidere.

LASTRE PIANE INFLESSE

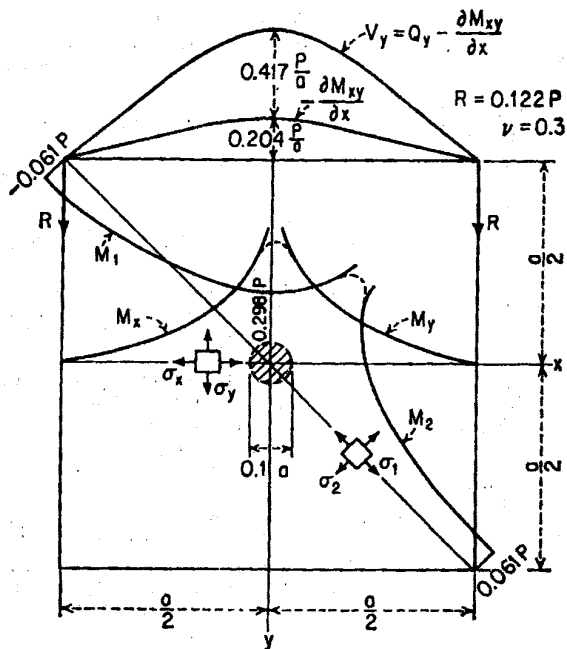
Una lastra di lunghezza infinita, cioè vincolata lungo due soli lati paralleli, si comporta come una serie di travi affiancate che si aiutano con la sola contrazione trasversale impedita.

Per questo contributo la rigidezza passa dal termine EJ al termine $EJ/(1-\nu^2)$, maggiore di EJ . La massima freccia w diminuisce di una quantità rappresentata da $1/(1-\nu^2)$.

Quando invece la lastra, assunta di forma rettangolare, sia vincolata lungo tutti e quattro i lati, essa può essere considerata costituita da due serie di strisce ortogonali collaboranti. Le strisce in una direzione sostengono quelle in direzione perpendicolare. La flessione delle strisce AB costringe inoltre le strisce CD a torcersi e queste, a loro volta, reagendo, trasmettono momenti torcenti e viceversa. Questi momenti, denominati momenti di sostentamento, sono di versi opposti sulle due metà delle strisce.



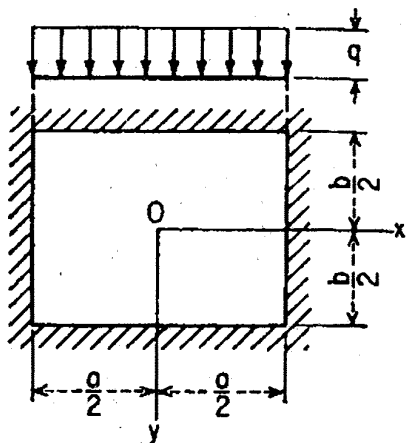
LASTRE PIANE INFLESSE



Distribuzione dei momenti flettenti e delle reazioni vincolari nel caso di una lastra quadrata soggetta ad un carico centrale avente impronta circolare di diametro 0,1 a

LASTRE PIANE INFLESSE

TABLE 35. DEFLECTIONS AND BENDING MOMENTS IN A UNIFORMLY LOADED RECTANGULAR PLATE WITH BUILT-IN EDGES (FIG. 91)
 $\nu = 0.3$



b/a	$(w)_{z=0, y=0}$	$(M_x)_{z=0, y=0}$	$(M_y)_{z=0, y=b/2}$	$(M_x)_{z=0, y=0}$	$(M_y)_{z=0, y=0}$
1.0	$0.00126qa^4/D$	$-0.0513qa^2$	$-0.0513qa^2$	$0.0231qa^2$	$0.0231qa^2$
1.1	$0.00150qa^4/D$	$-0.0581qa^2$	$-0.0538qa^2$	$0.0264qa^2$	$0.0231qa^2$
1.2	$0.00172qa^4/D$	$-0.0639qa^2$	$-0.0554qa^2$	$0.0299qa^2$	$0.0228qa^2$
1.3	$0.00191qa^4/D$	$-0.0687qa^2$	$-0.0563qa^2$	$0.0327qa^2$	$0.0222qa^2$
1.4	$0.00207qa^4/D$	$-0.0726qa^2$	$-0.0568qa^2$	$0.0349qa^2$	$0.0212qa^2$
1.5	$0.00220qa^4/D$	$-0.0757qa^2$	$-0.0570qa^2$	$0.0368qa^2$	$0.0203qa^2$
1.6	$0.00230qa^4/D$	$-0.0780qa^2$	$-0.0571qa^2$	$0.0381qa^2$	$0.0193qa^2$
1.7	$0.00238qa^4/D$	$-0.0799qa^2$	$-0.0571qa^2$	$0.0392qa^2$	$0.0182qa^2$
1.8	$0.00245qa^4/D$	$-0.0812qa^2$	$-0.0571qa^2$	$0.0401qa^2$	$0.0174qa^2$
1.9	$0.00249qa^4/D$	$-0.0822qa^2$	$-0.0571qa^2$	$0.0407qa^2$	$0.0165qa^2$
2.0	$0.00254qa^4/D$	$-0.0829qa^2$	$-0.0571qa^2$	$0.0412qa^2$	$0.0158qa^2$
∞	$0.00260qa^4/D$	$-0.0833qa^2$	$-0.0571qa^2$	$0.0417qa^2$	$0.0125qa^2$

Valori dei momenti flettenti e delle reazioni vincolari nel caso di una lastra incastrata soggetta ad un carico uniforme.

PIASTRE - Buzziachi

Elem. curvato ortogonale al piano medio; ma in genere noi chiamiamo piastre gli elementi che hanno anche ripidità al taglio (che originariamente la piastra di Kirchhoff non ha) → stiamo studiando un elemento intrinsecamente 3 volte iperstatico (8 eq. compat. ma solo 5 di equilibrio)

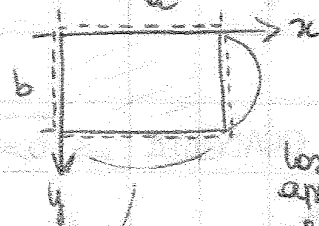
eq. Sophie-Germain: $\frac{\partial^4 W}{\partial x^4} + 2 \frac{\partial^4 W}{\partial x^2 \partial y^2} + \frac{\partial^4 W}{\partial y^4} = \frac{q(x,y)}{D} \iff \frac{d^4 v}{dz^4} = -\frac{q}{EI}$ (tracce!)



ottenuta per dx-dy ma valida perciò per \forall forma di piastra e \forall carich. di carico (verso alto, verso il basso, ...)

1) ASSUNZIONE ANALITICA

Per un carico del tipo: $q = q_0 \cdot \text{sen}\left(\frac{\pi x}{a}\right) \cdot \text{sen}\left(\frac{\pi y}{b}\right)$



l'eq. diff. diventa: $\frac{\partial^4 W}{\partial x^4} + 2 \frac{\partial^4 W}{\partial x^2 \partial y^2} + \frac{\partial^4 W}{\partial y^4} = \frac{q_0}{D} \text{sen}\left(\frac{\pi x}{a}\right) \text{sen}\left(\frac{\pi y}{b}\right)$

lontre appoggiate su 4 lati

BC: $\left. \begin{array}{l} W=0 \\ \frac{\partial^2 W}{\partial x^2}=0 \end{array} \right\} x=0, x=a$
 $\left. \begin{array}{l} W=0 \\ \frac{\partial^2 W}{\partial y^2}=0 \end{array} \right\} y=0, y=b$

lupo gli appoggi. ABBASSAM. e MOMENTO LUCCI
 sono espresse le flessioni come SEMIONDE (seni!)

(Tibishewko)

Per esperienza, si è visto che quest'eq. diff. è soddisfatta da:

$W = C \cdot \text{sen}\left(\frac{\pi x}{a}\right) \cdot \text{sen}\left(\frac{\pi y}{b}\right)$ → sostituisco W in $\frac{\partial^4 W}{\partial x^4} + \dots + BC$

l'ipotesi come prodotto di 2 semionde

$C = \frac{q_0}{144 D \cdot \left(\frac{1}{a^2} + \frac{1}{b^2}\right)^2}$

$W(x,y) = \frac{q_0}{144 D \left(\frac{1}{a^2} + \frac{1}{b^2}\right)^2} \cdot \text{sen}\left(\frac{\pi x}{a}\right) \text{sen}\left(\frac{\pi y}{b}\right)$

ricavo X curvatura

$\chi_x = -\frac{\partial^2 W}{\partial x^2}, \chi_y = -\frac{\partial^2 W}{\partial y^2}$

ricavo M momenti!

$M_x = D(\chi_x + \nu \chi_y)$
 $M_y = D(\chi_y + \nu \chi_x)$
 otteniamo gli M dall'eq. di legame

(3)

$$-\frac{b}{\pi} \cos \frac{\pi y}{b} \Big|_0^b \quad 1+2 \quad \frac{b}{\pi} - \frac{b}{\pi} \cdot \frac{2b}{\pi}$$

$$-\sin \frac{\pi y}{b} \cdot \frac{1}{b}$$

$$2 \cdot (V_x + V_y) =$$

$$2 \cdot \frac{q_0}{\pi \left(\frac{1}{a^2} + \frac{1}{b^2}\right)} \left[\frac{1}{a} \left(\frac{1}{a^2} + \frac{2-y}{b^2}\right) \int_0^b \sin\left(\frac{\pi y}{b}\right) dy + \frac{1}{b} \left(\frac{1}{b^2} + \frac{2-x}{a^2}\right) \int_0^a \sin\left(\frac{\pi x}{a}\right) dx \right] =$$

$$= \frac{4 q_0 ab}{\pi^2} + \frac{8 q_0 (1-y)}{\pi^2 ab \left(\frac{1}{a^2} + \frac{1}{b^2}\right)}$$

somma di tutte le reazioni lungo il bordo superiore del cavo applicato!

$$\int_0^a \int_0^b q_0 \sin\left(\frac{\pi x}{a}\right) \sin\left(\frac{\pi y}{b}\right) dx dy = \text{INTEGRALE DEL CARICO APPLICATO!}$$

e quanto? Sono le reazioni R agli spigoli, che tirano giù così che tenderebbe ad alzarsi = 4R

$$R = \frac{2 q_0 (1-y)}{\pi^2 ab \left(\frac{1}{a^2} + \frac{1}{b^2}\right)}$$



inflazione agli spigoli avviene simultaneamente!

SOLUZIONE DI NAVIER (CORRILIO SENSO)

1) L'idea era già venuta a Navier, che aveva ipotizzato che la q potesse essere una funzione qualsiasi di x e y e che potesse essere espressa come una doppia serie:

$$q = q(x, y) = \sum_{m=1}^{\infty} \sum_{n=1}^{\infty} a_{mn} \sin\left(\frac{\pi m x}{a}\right) \sin\left(\frac{\pi n y}{b}\right)$$

⇒ con m e n possiamo modulare il carico come vogliamo

per: $a=b$
 $\nu=0,3$
 $q=q_0$

$$w = q_0 \cos \nu \frac{q_0 a^2}{\pi^4 D} = \frac{1}{\pi^4 D} \sum_m \sum_n a_{mn} \sin\left(\frac{\pi m x}{a}\right) \sin\left(\frac{\pi n y}{b}\right)$$

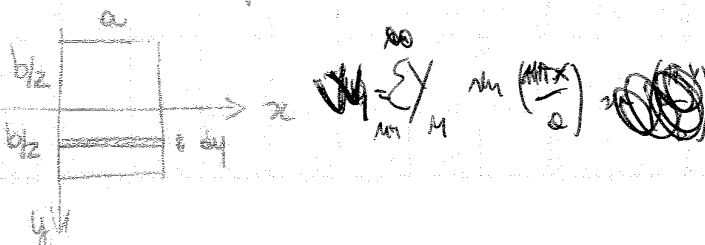
e anche rapidamente

quindi come si procede? Si introduce w nell'eq. di Sophie-Germain, si trova a_{mn} q = serie che va ad $\infty \rightarrow$ deve convergere \Rightarrow con w piccoli la serie converge sempre q converge a un numero e se poi inseriamo $a=b, q=\cos t$ e $\nu=0,3$ possiamo salvare l'inflazione come $\{ q a^2$ (come prima)

3) SOLUZIONE LEVY

x = asse di simmetria \rightarrow l'unico coeff. che determina la serie è Y_m che è solo funzione di y

$$Y_m = f(y)$$



5

mezzo che l'informazione in una direzione è

se $\frac{\partial \text{errore}}{\partial x}$ grande fa cadere
sempre alla $V_x \rightarrow T_x$ donna
errore $\rightarrow 0.5!$

modo più grande che in quella. I usce in

con. torcente altissimo affinché ci sia coerenza \rightarrow il risultato tutto ciò
è tecnico, questi con. torcenti sono fittizi! Perché qui si comporta prof. com.
come una trave

Definisci:

$$V_x = T_x - \frac{\partial \text{errore}}{\partial x}$$

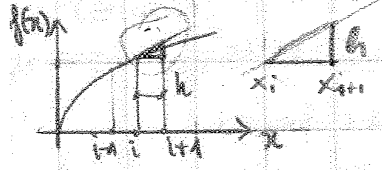
$$\frac{b}{a} > 3 \rightarrow \text{TRAVE}$$

1) FDM

metodo esaurito

orei computazionali
Altissimo

Metodo delle differenze finite - FDM \rightarrow buono per Solue-Gaussi 1° ordine



Uno dei modi x risolvere eq. diff. è il metodo delle diff. finite:
discretizziamo la derivata da punto a punto così da non avere più
derivata continua ma NUMERICA

es. noi calcoliamo funzione ma discretizzo dominio in $n+1$ punti i e valuto la derivata come

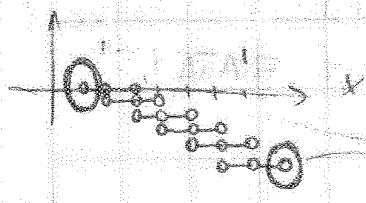
$$f'(x_i) = \frac{f(x_{i+1}) - f(x_i)}{h} \quad (\text{metodo Forward}) \quad x_i \text{ pseudo } i \text{ e } i \quad f'(x_i) = \frac{f(x_i) - f(x_{i-1}))}{h} \quad (\text{metodo Backward})$$

Queste non uscopite, ma se noi imponiamo un sistema lineare e poi imponiamo le
condizioni al contorno il tutto si divide e troviamo soluzione.

Approssimiamo 2 volte il metodo: $f''(x_i) = \frac{f(x_{i+1}) - 2f(x_i) + f(x_{i-1}))}{h^2} = \frac{f'(x_{i+1}) - f'(x_i)}{h}$

metodo più stabile
Inaccuratezza nei la backward nei la
forward ma una combinazione delle due

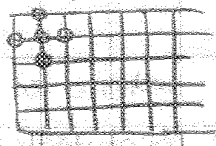
MOLECOLA DI
CALCOLO
① - ② - ①



Sposto la molecola di calcolo lungo x ① - ② - ① ...

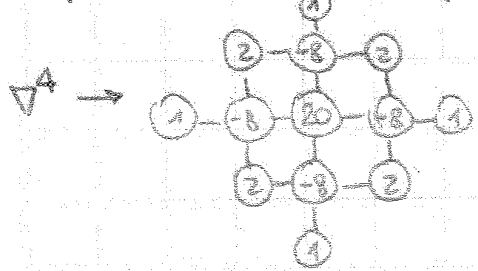
Ma gli estremi che cadono fuori dal dominio non li
abbiamo \rightarrow BC. (2 estremi \rightarrow 2 BC)

Noi però siamo in 2D, perciò dobbiamo derivare rispetto a x ① - ② - ① ma anche
rispetto a y



Inoltre noi abbiamo la derivata quarta! $\nabla^2(\nabla^2) = \nabla^4$ grad (gradiente) = ∇

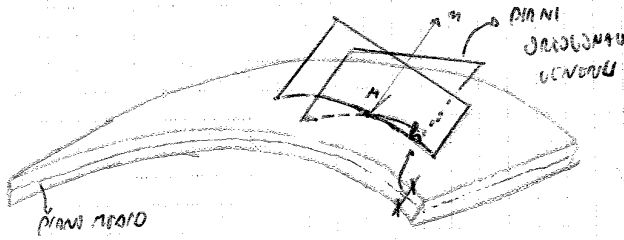
E quindi applico questo procedimento e poi ti applico a quanto ottenuto prima



condizioni al contorno (come fatto nel caso lineare)
Punti fuori dal dominio
 x trattare punto interno
al dominio!!

6 USU SOTTILI

POSIZIONE PREMINENTE IN INGEGNERIA STRUTTURALE → VARIABILI:



- EFFICIENZA DEL COMPORTAMENTO DI RICERCA A CARICHI
- ALTA CAPACITÀ DI RESISTENZA RESIDUALE E INTIMITÀ STRUTTURALE
- ALTA RESISTENZA IN RAPPORTO AI PESI
- BASSA RIGIDITÀ
- CONTINUITÀ DELLO SPAZIO

SONO FORMATI DA 2 SUPERFICIE CURVE, DISTANTI IN ESSA MEDIA E CHIAMATA SPESORE (H)

LUOGO DI PIANI TANGENZIALI ALLE DUE SUPERFICIE

↓
PIANO MEDIO

(RISPETTO ALLE
ALTRE DIMENSIONI
DEL CORPO)

↓
GUSCI SOTTILI $\max \left(\frac{h}{R} \right) \leq \frac{1}{20}$

R = RAGGIO CURVATURA

(IN GENERALE
NO $h = \text{cost}$)

DETERMINATO UN PUNTO M SONO INFINITI I PIANI CHE CONTINGONO LA NORMALE AL GUSCIO IN TAL PUNTO → LE SEZIONI CHE SI FORMANO DETERMINANO INFINITI RAGGI DI CURVATURA

2 SEZIONI ORTOGONALI CHE INDIVIDUANO IL MAX E IL MIN RAGGIO DI CURVATURA → SEZIONI PRINCIPALI

↓
CURVATURE PRINCIPALI (K_1, K_2)

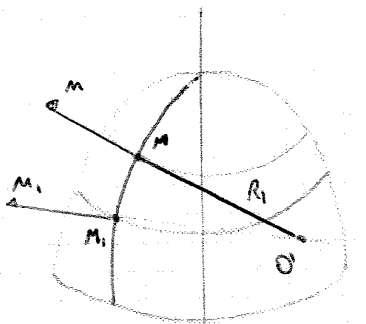
RAGGI PRINCIPALI ($R_1 = \frac{1}{K_1}, R_2 = \frac{1}{K_2}$)

SEZIONI PRINCIPALI
DIREZIONI PRINCIPALI

LE SUPERFICIE DI UNO GUSCIO SONO CURVE MINUSCULE DI UNA CURVA PIANA (MERIDIANO) INTORNO ALL'ASSE Z

IL PIANO CHE CONTIENE IL MERIDIANO CONTIENE IL RAGGIO DI CURVATURA

CIASCUN PUNTO DEL MERIDIANO NELLA SUA POSIZIONE DETERMINA UN COORDINATO CURVATO IN UN PIANO PERPENDICOLARE ALL'ASSE Z



LE NORMALE M E M1, INOLTRE A 2 ALTRI M E M1, APPARTENONO ALLO STESSO MERIDIANO SE INTERSECONO IN O'

I MERIDIANI IN OUNO PUNTO SONO UNA DELLE LINEE DI CURVATURA E SONO UNA DELLE SEZIONI PRINCIPALI - A RAGGIO PRINCIPALE MO' R1 PRIMO RAGGIO PRINCIPALE

CIASCUN PUNTO IN UNO GUSCIO CURVA K

2 PUNTI SONO STESSO PIANO CURVATO DETERMINANO CON LO STESSO NORMALE UN PIANO O2 SULL'ASSE Z

SI DETERMINA UNA SECONDA DIREZIONE NORMALE PRINCIPALE (SECONDO GUSCIO) M

MO2 = R2 SECONDO RAGGIO DI CURVATURA PRINCIPALE

R1 VARIA CON LA LONGITUDINE CON LA COORDINATA S

R2 VARIA CON LA LONGITUDINE CON LA COORDINATA S

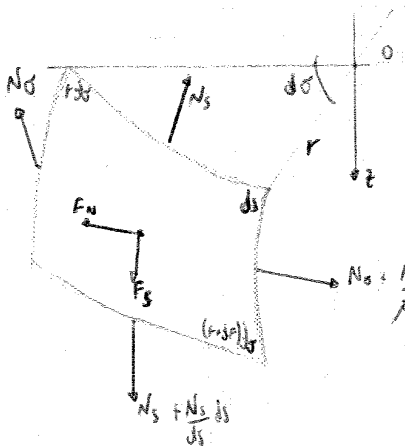
LA FORMA DEL GUSCIO DEVE ESSERE DEFINITA DA UN'ESPRESSIONE CHE CAMBIA CON REGOLARITÀ
NON DEVE PRESENTARE SPICCHI, ANGOLI ANCORATI, LA DERIVATA PRIMA DEL COORDINATO NON DEVE
CAMBIARE A SEGNO

LA CARICHI APPLICATI CON REGOLARITÀ

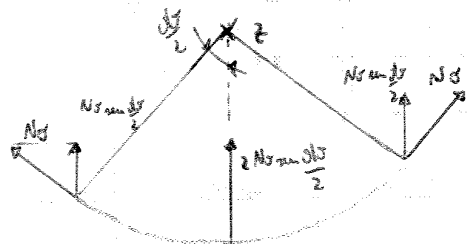
(SITUAZIONI CONVENIENTI CHE NON POSSONO SUBIRE PERTURBAZIONI) * IL TEOREMA DI LAGRANGE

CON CARICHI SIMMETRICI E OSSERVANDO IL D.D. ALGUNE MEMBRANE LE POSSIAMO SEMPLIFICARE

LE EQ. STATICHE DI EQUILIBRIO

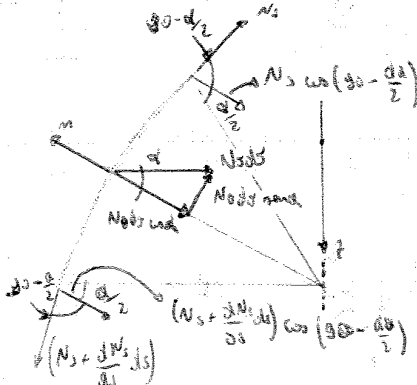


NON
ESISTONO
PERTURBAZIONI
LUNGO
IL PERIMETRO
DELLA
CAMPANA



$$\sin \frac{d\theta}{2} \approx \frac{d\theta}{2} \Rightarrow 2N_s \sin \frac{d\theta}{2} = N_s d\theta$$

$$\cos \left(90 - \frac{d\theta}{2} \right) = \sin \frac{d\theta}{2}$$



EQUILIBRIO LUNGO S

$$\left(N_s + \frac{dN_s}{ds} \right) (t ds) - N_s t ds + F_s (t ds) ds + N_s d\theta \sin \frac{d\theta}{2} = 0$$

$$\frac{dN_s}{ds} ds t ds + \frac{dN_s}{ds} ds t ds + N_s t ds + F_s t ds ds + N_s ds \sin \frac{d\theta}{2} = 0$$

diviso $\times t ds ds$ con $t = ds \sin \theta$

$$\frac{dN_s}{ds} + \frac{N_s ds ds \sin \theta}{t ds ds} + F_s - N_s \frac{\sin \theta}{R} = 0$$

$$\frac{dN_s}{ds} + N_s \frac{\sin \theta}{R} + F_s - N_s \frac{\sin \theta}{R} = 0$$

EQUILIBRIO LUNGO N

$$+ F_n t ds ds - N_s d\theta \cos \frac{d\theta}{2} - N_s \sin \frac{d\theta}{2} ds - \left(N_s + \frac{dN_s}{ds} \right) (t ds) \sin \frac{d\theta}{2} = 0$$

$$F_n t ds ds - N_s ds \cos \frac{d\theta}{2} - 2 N_s ds \sin \frac{d\theta}{2} = 0$$

diviso $\times t ds ds$

$$F_n - N_s \frac{\cos \theta}{R} - N_s \frac{d\theta}{ds} = 0 \quad \frac{d\theta}{ds} = \frac{1}{R_1}$$

$$\frac{N_s}{R_2} - \frac{N_s}{R_1} + F_n = 0$$

N_1 e N_2 sono sforzi x unità di lunghezza
Possiamo creare sistemi in m $\delta h = N$

$N_1 = \delta \sigma h$ MEMBRANA CIRCULARE MEMBRANA SPERICA
 $N_2 = \delta \sigma h$ $R_1 \rightarrow \infty$ $R_2 = R$ $R_1 = R_2 = R$
SOLUZIONE A PARTIRE DA SISTEMI $P = \text{Unit}$
 $\delta \sigma = \frac{PR}{R_2}$ $\delta \sigma = \frac{PR}{2h}$

* PER EQ. DI EQUILIBRIO IN ALCUNE MEMBRANE EQ. COSTITU

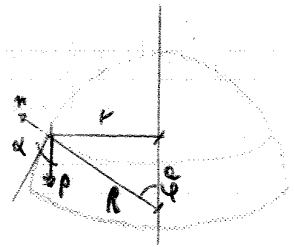
CUPOLE

SONO STRUTTURE MEMBRANALI A GUSCIO DOPPIO QUINDI VALE $\frac{N_{\sigma}}{R_2} + \frac{N_{\tau}}{R_1} = F_N$

CON $R_1 = R_2 = R$

SI SCRIVE $N_{\sigma} = R F_N - N_{\tau}$ E $\frac{dN_{\tau}}{ds} + \frac{1}{2} \frac{q}{R} N_{\tau} = F_N \frac{1}{2} \frac{q}{R} = F_{\tau}$

CONSIDERANDO LO STATO DELLA COPPIA DI FORZE $P = \text{POD. PASSTO} \times \text{UNITÀ DI SUPERFICIE}$



$S = 2\pi R h$ dove $h = R - \rho$

$\rho = R \cos \varphi$

$h = R - R \cos \varphi$

$S = 2\pi R (1 - \cos \varphi) R$

POD COPPIA $\rightarrow P \cdot S = p \cdot 2\pi R (1 - \cos \varphi) R = Q$

MA CONSIDERANDO NOSTRILLO DI RAGGIO $r \rightarrow N_{\tau} = -\frac{Q}{r \sin \varphi}$

$N_{\tau} = -\frac{p \cdot 2\pi R (1 - \cos \varphi) R}{2\pi r \sin \varphi}$ con $R \sin \varphi = r$

Dopo moltiplicazione x R e divisione per $2\pi R \sin \varphi$ si ottiene $N_{\tau} = -\frac{p R (1 - \cos \varphi)}{(1 - \cos^2 \varphi)} = -\frac{p R (1 - \cos \varphi)}{(1 + \cos \varphi)}$

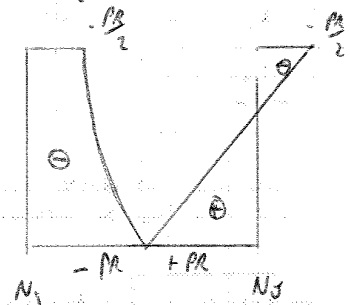
$N_{\sigma} = -p R \cos \varphi + N_{\tau} = -p R \cos \varphi + \frac{p R}{1 + \cos \varphi}$ Poiché $F_N = -p \cos \varphi$

con $\varphi = 0$ ALL'APICE DELLA COPPIA

$N_{\sigma} = N_{\tau} = -\frac{p R}{2}$

con $\varphi = \frac{\pi}{2}$ AL FONDO DELLA COPPIA

$N_{\sigma} = -p R$
 $N_{\tau} = +p R$



SI PÒS NOTARE CHE LO STATO N_{τ} CAMBIA SEGNO AL COMPLESSIVO IN TUTTO N_{τ} CAMBIA 2 VOLT

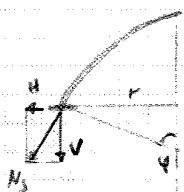
$N_{\tau} = 0 \rightarrow \cos \varphi + \frac{1}{1 + \cos \varphi} = 0 \rightarrow \varphi \approx 52$

CORR DIZIONO ALLA QUOTE SI HA IL PARALLELO ED UNO SI HA IL CAMBIO DI SEGNO

LA PRESSIONE IN DENTRATA È PERMANENTE COSÌ SI PÒS DETERMINARE UNO STATO DI TENSIONE NORMALI PER MEMBRANA

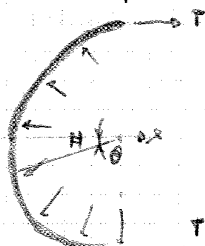
ADDESSO SI VERIFICHI ANCHE AL FONDO DELLA COPPIA NON DEVE ESSERE IMPEDITO IL MOVIMENTO SENZA CHE SI POSSANO CONSTATTE MONDARI PRESENTI

SI IMMAGINI UNA COPPIA DI COPPIA NOSTRILLO IN UN ANGOLO CIRCUMSCRITTO È IL PRIMO MODO DELLA COPPIA CON LA COPPIA DI COPPIA X QUINDI BLENTEFRUTA



$V = N_{\tau} \sin \varphi$

$H = +N_{\sigma} \cos \varphi$



SE T È LA TENSIONE (CIRCONFERENZIALE) SULLA COPPIA È CALCOLO SINTETICO LE COPPIE DI H IN AZIONE X SINTONANDO IL MODO DI TENSIONE PER LA F

$2T = \int_{-\pi/2}^{\pi/2} -N_{\tau} \cos \varphi \cos \theta r d\theta$

$2T = -N_{\tau} \cos \varphi r \int_{-\pi/2}^{\pi/2} \cos \theta d\theta$
 $= -N_{\tau} \cos \varphi r \left[\sin \theta \right]_{-\pi/2}^{\pi/2}$

$2T = 2(-N_{\tau} \cos \varphi r)$

DALLO STATO COSTITUTIVO

$$N_{\sigma} = \sigma_0 h$$

$$\sigma_0 = E_f \epsilon$$

MA

E_{σ} DATA DA COSTITUZIONE

$$E_{\sigma} = \frac{w}{R}$$

VALE IN TUTTO IL CASO $E_{\sigma} = \frac{\Delta R}{R}$ MA $\Delta R = w$



$$M_x = D \chi_x = D \frac{d\chi_x}{dx}$$

POICHE' $\chi_0 = 0$

$$M_x = -D \frac{d^2 w}{dx^2}$$

INDETERMINATE $\chi_x = \frac{dw}{dx} + q x - \frac{q}{R} x^2 = 0$

$$q x = -\frac{dw}{dx}$$

STATO COSTITUTIVO NON COSTITUTIVO

$$D \frac{d^4 w}{dx^4} + \frac{Eh}{R^3} w - q = 0$$

$$\frac{d^4 w}{dx^4} + \frac{Eh}{R^3 D} w - \frac{q}{D} = 0$$

SE $q = 0$

$$\frac{d^4 w}{dx^4} + \beta^4 w = 0$$

OMogenea

$$\text{con } \beta = \sqrt[4]{\frac{Eh}{R^3 D}}$$

$\frac{Eh}{R^3}$ RIGIDITA' FLESSIONALE
ADMISSIBILE

D RIGIDITA' FLESSIONALE
REALE

CILINDRO CON O SENZA
RINFORZI

$$\beta = \sqrt[4]{\frac{Eh}{R^3 D L}}$$

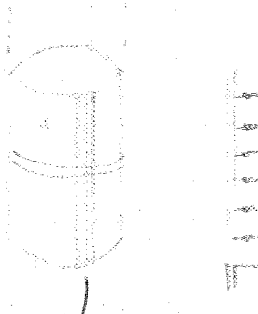
SE h + CANTO
 β + PIVOTA

$$L = \frac{L_0}{\beta}$$

$L \neq$ CANTO
SPOSTAMENTO DI M
RINFORZI

SE $h \ll \beta$

$L <$ SPOSTAMENTO
RINFORZI



LE SINGOLE AZIONI
SONO UNITE CONSIDERANDO
PER LO STATO COSTITUTIVO
IN UNA PIASTRA CHE SOSTIENE
PER LO STATO COSTITUTIVO D

(CANTO SENZA RINFORZI HANNO RINFORZI + RINFORZI)
R + PIVOTA

IN TALI CONDIZIONI VALE LA CONDIZIONE DELLA SUPERPOSIZIONE DEGLI EFFETTI

SI IMMAGINA DI SEGUIRE LO STATO COSTITUTIVO CON FORMA ARBITRARIA SOSTITUITO, QUANTO A
M < ALTRI EFFETTI -> CROCEVOLUTEZZA (OPERAZIONE DI INFLUENZA) CI DA UNA SOLUZIONE DEGLI SPOSTAMENTI

POSSIAMO APPLICARE QUESTA FORMA QUANDO $Q = \frac{2E}{\beta} < L$ (LUNGHEZZA DEL CILINDRO)
LUNGHEZZA D'AZIONE

GLI EFFETTI DELLA FORZA NON SI RIPRODUCONO SU TUTTO IL CILINDRO

LA SOLUZIONE DELLA DIFFERENZIALE ASSOCIATA E' UN ESPONENZIALE CON ESPONENTE IMAGINARIO (SPOSTAMENTO)

GLI EFFETTI SI RIPRODUCONO FINO AD L DEL SPOSTAMENTO MASSIMALE SOLITARIO

CONVENZIONI



CROCEVOLUTEZZA = SPOSTAMENTO ASSIEME A FORZA O
MOMENTO UNITARIO

λ_{FF} = CROCEVOLUTEZZA IN DIREZIONE F (SPOSTAMENTO UNITARIO)
DOTTI DA UNA FORZA F

λ_{FM} = CROCEVOLUTEZZA IN DIREZIONE F
DOTTI AL MOMENTO M

λ_{MF} = CROCEVOLUTEZZA ROTAZIONALE
DOTTI DA UNA FORZA F

λ_{MM} = CROCEVOLUTEZZA ROTAZIONALE
DOTTI DA UN MOMENTO M

NOI AFFINCO GU SOSTANZI

$$w(x) \rightarrow \psi(x) \rightarrow \chi(x) \rightarrow M(x)$$

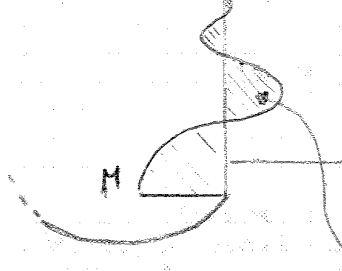
si affonda

è possibile vedere il diagramma di momento

è il momento

DETERMINAZIONE DEL MOMENTO
(Caso 0) COEFFICIENTE DI RIGIDEZZA

INDIZIONE AL BASSO
SOSTANZIATO CO LEMPO
DEL MOMENTO



$$\delta = \frac{N\delta}{h} \pm \nu \sigma_x$$

SI AFFONDO DEL MOMENTO
MAXIMALE
SI HA UNO δ_x

IL SECONDO DERIVATO DEL
MOMENTO CHE IL MOMENTO
SI PUÒ DETERMINARE UN
AVVANTO δ UNO DIMINUIZIONE
MA δ
ALL'INIZIO SOSTANZIATO
AVVANTO UN VALORE \pm POSITIVO O NEGATIVO
MA NON HA DIRREZIONE DI MOMENTO
A OX MA UN VALORE DI CONTRASTO
POSITIVO δ È NEGATIVO MA δ_x

$$\delta_x = \frac{M}{E} \nu = \frac{M \nu}{E} \quad \text{con } \nu = \frac{1}{2} \left(\frac{1+\nu}{1-\nu} \right)$$

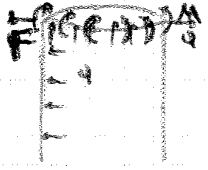
$$\delta = \frac{M}{E} \nu$$

IL CASO CILINDRO TAPPATO

(FONDO PIANO O FONDO A CURVA)
LAVORO SPINTE

A FONDO PIANO

CAMMINO CO SE DI COMPOSIZIONE

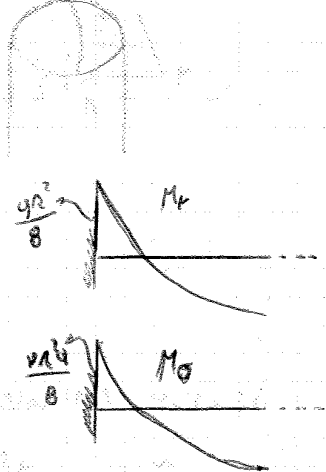


SI CALCOLO
CON CO COE
VOLTAJE

$$\psi_{cilindro} = \psi_{fondo}$$

NON CI DEVONO
UNIQUE ROTATION
DIFFERENZIALI

RELATIVO ALLA LINEA CILINDRO



DISTRIBUZIONE MOMENTO
MAXIMALE DEVONO SI A
DISTRIBUZIONE

ROTATIONE

$$-\lambda_{RF} F + \lambda_{MM} M = \frac{qR^3}{8(1+\nu)\Delta} - \frac{MR}{(1+\nu)\Delta}$$

ψ DEVONIA A q

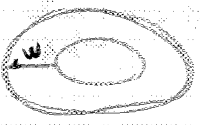
(DISTRIBUZIONE M_x)

ROTATIONE DEVONIA AL MOMENTO APPLICATO AL
BASSO

$M_x - M_y - M_z$ SUL BASSO SE PASSAMO A
COORDINATE X-Y

IL MOMENTO M_x E M_y INCOMITO QUINDI CI
DEVONO AVVERE LA STESSA ED DI COMPOSIZIONE
MA A QUESTO UNO MOMENTO LA LINEA DEL TAPPATO
COME SE AVESSE UNO MEMBRANA CILINDRO

M_x M_y DEVONONO MEMBRANA
 M_{xy} MA SARI
MA CHE X SARI
TRA NON CO



SOSTANZIATO
O DEVONO
AM LAVORO
SILITE

$$M_x = \Delta (\chi_x + \nu \chi_y)$$

$$M_y = \Delta (\chi_y + \nu \chi_x)$$

$$\chi_y = \chi_x = \chi$$

$$M = \Delta (\chi + \nu \chi) \rightarrow \chi = \frac{M}{(1+\nu)\Delta}$$

SOSTANZIATO W (MOMENTO)

$$-\lambda_{RF} F + \lambda_{FM} M + \frac{qR^2}{8} (1-\nu) = \frac{FR}{8} (1-\nu)$$

ROTATIONE
MOMENTO DEVONO
A FONTO F È UNO MEMBRANA

$$\psi = \int \chi = \frac{MR}{(1+\nu)\Delta}$$

IN A

$$w_A = 0 = \frac{\gamma R^2}{Eh} e + \frac{1}{2DB} T_A - \frac{1}{2DB} M_A$$

$$\varphi_A = 0 = \frac{\gamma R^2}{Eh} - \frac{1}{2DB} T_A + \frac{1}{DB} M_A$$

CON INDETERMINATE M_A E T_A

↓
 CONDIZIONI ALTERNATIVE
 MONDARTE ED 8 CONDIZIONI
 POSSIBILI SOSTITUIRANO
 IL SOSTABITO

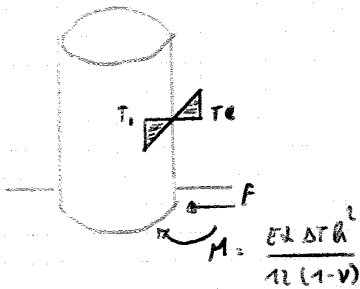
MAI SOSTITUIRE CONDIZIONI
 DEI CASI DI NECESSITÀ ASSOCIATA
 PER $X=2$

DALLE CONDIZIONI DI
 CONTINUITÀ

(SOLUZIONE MEMBRANALE)

TAVOLA 10 - PER CONDIZIONI ALTERNATIVE ALLE CONDIZIONI
 MONDARTE CON CONDIZIONI SOSTITUIRANO IL SOSTABITO

CASO UNO IDROSTATICO CON TEMPERATURA DIVERSA DALL'ARIA



X EFFETTO DEL GRADIENTE TERMICO IL SOSTABITO SI INFIACCIA
 AL BORDO IN UN PUNTO NORMALE CON UN MOMENTO M
 MOMENTO AL FODO E MEGLIO IL MOMENTO SI ANNULLA
 PERCHÉ IL CILINDRO RESISTE CON UN MOMENTO ELASTICO
 INTERNO CHE ANNULLA IL MOMENTO ADUNTO AL BORDO
 (RIPUNTA STATICA)

CONDIZIONE F E M ALTERNATIVE PROVANO LO δ E SI OTTENGONO

$\delta = 1,25 \delta_x$ PERCHÉ IL SOSTABITO RESISTE MEGLIO CON UN MOMENTO ELASTICO

SI PUÒ ASSUMERE QUANTO DIVERSE NORMALE MAGGIORMENTE IN
 PUNTO NORMALE IN PUNTO DI CONTINUITÀ O ALTERNATIVE DEL "CANTO"

LASTRE DI RIVOLUZIONE NON CARICATE SIMMETRICAMENTE

EQUILIBRIO ALLA TRASLAZIONE LUNGO S

Sommando tutti i contributi e dividendo per $dA = rd\theta ds$ si ottiene:

$$\left(\frac{\partial}{\partial s} + \frac{1}{r} \frac{dr}{ds} \right) N_s + \left(-\frac{\sin \alpha}{r} \right) N_\theta + \left(\frac{1}{r} \frac{\partial}{\partial \theta} \right) N_\theta + \left(-\frac{d\alpha}{ds} \right) T_\theta + F_s = 0$$

Sostituendo $R_s = -ds/d\alpha$ e considerando che $dr/ds = \sin \alpha$ si ottiene:

$$\left(\frac{\partial}{\partial s} + \frac{\sin \alpha}{r} \right) N_s + \left(-\frac{\sin \alpha}{r} \right) N_\theta + \left(\frac{1}{r} \frac{\partial}{\partial \theta} \right) N_\theta + \left(\frac{1}{R_s} \right) T_\theta + F_s = 0$$

LASTRE DI RIVOLUZIONE NON CARICATE SIMMETRICAMENTE

EQUILIBRIO ALLA TRASLAZIONE LUNGO T

Sommando tutti i contributi (considerato che $N_{s\theta} = N_\theta$) e dividendo per l'area dell'elemento infinitesimo $dA = rd\theta ds$ si ottiene

$$\left(\frac{1}{r} \frac{\partial}{\partial \theta} \right) N_\theta + \left(\frac{\partial}{\partial s} + \frac{1}{r} \frac{dr}{ds} + \frac{\sin \alpha}{r} \right) N_\theta + \left(-\frac{\cos \alpha}{r} \right) T_\theta + F_\theta = 0$$

Sostituendo $R_t = -r/\cos \alpha$ e considerando che $dr/ds = \sin \alpha$ si ottiene:

$$\left(\frac{1}{r} \frac{\partial}{\partial \theta} \right) N_\theta + \left(\frac{\partial}{\partial s} + \frac{2 \sin \alpha}{r} \right) N_\theta + \left(\frac{1}{R_t} \right) T_\theta + F_\theta = 0$$

LASTRE DI RIVOLUZIONE NON CARICATE SIMMETRICAMENTE

EQUILIBRIO ALLA TRASLAZIONE LUNGO T

2) **Traslazione lungo la direzione t:**

- Contributo di N_θ .
- $\frac{\partial N_\theta}{\partial \theta} d\theta ds$
- Contributo di $N_{s\theta}$ a meno di infinitesimi di III ordine:

$$\left\{ \left(N_{s\theta} + \frac{\partial N_{s\theta}}{\partial s} ds \right) (r + dr) d\theta - N_{s\theta} (r d\theta) \right\} = N_{s\theta} dr d\theta + \frac{\partial N_{s\theta}}{\partial s} ds r d\theta$$

Contributo di M_θ si consideri dapprima la componente ($N_\theta \sin \alpha$) di N_θ sul piano orizzontale; sommando vettorialmente le due componenti si ottiene:

$$2(N_\theta \sin \alpha) \sin \frac{d\theta}{2} ds \approx (N_\theta \sin \alpha) d\theta ds$$

Contributo di T_θ :

$$-(1 \cdot \cos \alpha) T_\theta ds$$

Contributo dei carichi esterni:

$$F_\theta dA \approx F_\theta r d\theta ds$$

Contributo di N_s si consideri dapprima la componente ($N_s \sin \alpha$) di N_s sul piano orizzontale; sommando vettorialmente le due componenti si ottiene:

$$2(N_s \sin \alpha) \sin \frac{d\theta}{2} ds \approx (N_s \sin \alpha) d\theta ds$$

LASTRE DI RIVOLUZIONE NON CARICATE SIMMETRICAMENTE

EQUILIBRIO ALLA TRASLAZIONE LUNGO n

3) **Traslazione lungo la direzione n:**

Contributo di N_s ottenuto componendo gli N_s lungo la direzione n:

$$-(N_s \cos \alpha) d\theta ds$$

Contributo di M_θ :

$$-\frac{\partial T_\theta}{\partial \theta} d\theta ds$$

Contributo di T_θ :

$$F_\theta dA \approx F_\theta r d\theta ds$$

Contributo dei carichi esterni:

$$F_n dA \approx F_n r d\theta ds$$

Contributo di T_r a meno di infinitesimi di III ordine:

$$T_r d\theta - \left(T_r + \frac{\partial T_r}{\partial s} ds \right) (r + dr) d\theta = -T_r dr d\theta - \frac{\partial T_r}{\partial s} r ds d\theta$$

Sommando tutti i contributi e dividendo per $dA = rd\theta ds$ si ha:

$$\left(-\frac{\partial \alpha}{\partial s} \right) N_s + \left(-\frac{\cos \alpha}{r} \right) N_\theta + \left(\frac{1}{r} \frac{dr}{ds} + \frac{\partial}{\partial s} \right) T_r + \left(-\frac{1}{r} \frac{\partial}{\partial \theta} \right) T_\theta + F_n = 0$$

$$-\left(\frac{1}{R_t} \right) N_s + \left(\frac{1}{R_s} \right) N_\theta + \left(-\frac{\partial}{\partial s} - \frac{\sin \alpha}{r} \right) T_r + \left(-\frac{1}{r} \frac{\partial}{\partial \theta} \right) T_\theta + F_n = 0$$

LASTRE DI RIVOLUZIONE NON CARICATE SIMMETRICAMENTE

EQUAZIONI CINEMATICHE

Le equazioni cinematiche per le lastre di rivoluzione caricate in modo generico si presentano in maniera duale rispetto a quelle statiche

$$\begin{bmatrix} \epsilon_s \\ \epsilon_\theta \\ \gamma_{s\theta} \\ \gamma_s \\ \chi_s \\ \chi_\theta \\ \chi_{s\theta} \end{bmatrix} = \begin{bmatrix} 0 & 0 & +\frac{1}{R_1} & 0 & 0 & 0 \\ +\frac{\sin \alpha}{r} & \frac{1}{r} \frac{\partial}{\partial \theta} & +\frac{1}{R_2} & 0 & 0 & 0 \\ \frac{1}{r} \frac{\partial}{\partial \theta} \left(\frac{\beta}{\beta_s} - \frac{\sin \alpha}{r} \right) & 0 & 0 & 0 & 0 & 0 \\ -\frac{1}{R_1} & 0 & \frac{\partial}{\partial s} & +1 & 0 & 0 \\ 0 & -\frac{1}{R_2} & \frac{1}{r} \frac{\partial}{\partial \theta} & 0 & +1 & 0 \\ 0 & 0 & 0 & \frac{\beta}{\beta_s} & \frac{\sin \alpha}{r} & +\frac{1}{r} \frac{\partial}{\partial \theta} \\ 0 & 0 & 0 & 0 & 0 & \frac{1}{r} \frac{\partial}{\partial \theta} \left(\frac{\beta}{\beta_s} - \frac{\sin \alpha}{r} \right) \end{bmatrix} \begin{bmatrix} u \\ v \\ w \\ \varphi_s \\ \varphi_\theta \end{bmatrix}$$

LASTRE DI RIVOLUZIONE CARICATE SIMMETRICAMENTE

EQUAZIONI CINEMATICHE

Nel caso in cui una lastra di rivoluzione sia caricata simmetricamente rispetto all'asse Z, le equazioni statiche e cinematiche si semplificano, intervenendo come variabile indipendente del problema la sola coordinata curvilinea s ed annullandosi lo spostamento v lungo i paralleli, le deformazioni $\gamma_{s\theta}$, γ_θ , $\chi_{s\theta}$, così come le corrispondenti sollecitazioni interne $N_{s\theta}$, T_θ , $M_{s\theta}$.

$$\begin{bmatrix} \epsilon_s \\ \epsilon_\theta \\ \gamma_s \\ \chi_s \\ \chi_\theta \end{bmatrix} = \begin{bmatrix} \frac{d}{ds} & \frac{1}{R_1} & 0 & 0 \\ +\frac{\sin \alpha}{r} & \frac{1}{R_2} & 0 & 0 \\ -\frac{1}{R_1} & \frac{d}{ds} & +1 & \frac{d}{ds} \\ 0 & 0 & 0 & \frac{d}{ds} \\ 0 & 0 & 0 & +\frac{\sin \alpha}{r} \end{bmatrix} \begin{bmatrix} u \\ w \\ \varphi_s \end{bmatrix}$$

LASTRE DI RIVOLUZIONE CARICATE SIMMETRICAMENTE

EQUAZIONI CINEMATICHE

Nel caso in cui una lastra di rivoluzione sia caricata simmetricamente rispetto all'asse Z, le equazioni statiche e cinematiche si semplificano, intervenendo come variabile indipendente del problema la sola coordinata curvilinea s ed annullandosi lo spostamento v lungo i paralleli e la rotazione intorno a t, le deformazioni $\gamma_{s\theta}$, γ_θ , $\chi_{s\theta}$, così come le corrispondenti sollecitazioni interne $N_{s\theta}$, T_θ , $M_{s\theta}$.

$$\begin{bmatrix} \epsilon_s \\ \epsilon_\theta \\ \gamma_s \\ \chi_s \\ \chi_\theta \end{bmatrix} = \begin{bmatrix} \frac{\partial}{\partial s} & 0 & +\frac{1}{R_1} & 0 & 0 \\ +\frac{\sin \alpha}{r} & \frac{1}{r} \frac{\partial}{\partial \theta} & +\frac{1}{R_2} & 0 & 0 \\ \frac{1}{r} \frac{\partial}{\partial \theta} \left(\frac{\beta}{\beta_s} - \frac{\sin \alpha}{r} \right) & 0 & 0 & 0 & 0 \\ -\frac{1}{R_1} & 0 & \frac{\partial}{\partial s} & +1 & 0 \\ 0 & -\frac{1}{R_2} & \frac{1}{r} \frac{\partial}{\partial \theta} & 0 & +1 \\ 0 & 0 & 0 & \frac{\beta}{\beta_s} & \frac{\sin \alpha}{r} \\ 0 & 0 & 0 & 0 & \frac{1}{r} \frac{\partial}{\partial \theta} \left(\frac{\beta}{\beta_s} - \frac{\sin \alpha}{r} \right) \end{bmatrix} \begin{bmatrix} u \\ v \\ w \\ \varphi_s \\ \varphi_\theta \end{bmatrix}$$

REGIME MEMBRANALE

LASTRE DI RIVOLUZIONE CARICATE SIMMETRICAMENTE

EQUAZIONI STATICHE

PER IL REGIME MEMBRANALE

$$\begin{bmatrix} \epsilon_s \\ \epsilon_\theta \\ \gamma_s \\ \chi_s \\ \chi_\theta \end{bmatrix} = \begin{bmatrix} \frac{d}{ds} & \frac{1}{R_1} & 0 & 0 \\ +\frac{\sin \alpha}{r} & \frac{1}{R_2} & 0 & 0 \\ -\frac{1}{R_1} & \frac{d}{ds} & +1 & \frac{d}{ds} \\ 0 & 0 & 0 & \frac{d}{ds} \\ 0 & 0 & 0 & +\frac{\sin \alpha}{r} \end{bmatrix} \begin{bmatrix} N_s \\ N_\theta \\ T_s \\ T_\theta \\ M_s \\ M_\theta \end{bmatrix}$$

Si osservi che, ancora per ragioni di simmetria, sono identicamente soddisfatte, e quindi non compaiono, le condizioni di equilibrio alla traslazione lungo i paralleli e alla rotazione attorno ai meridiani.

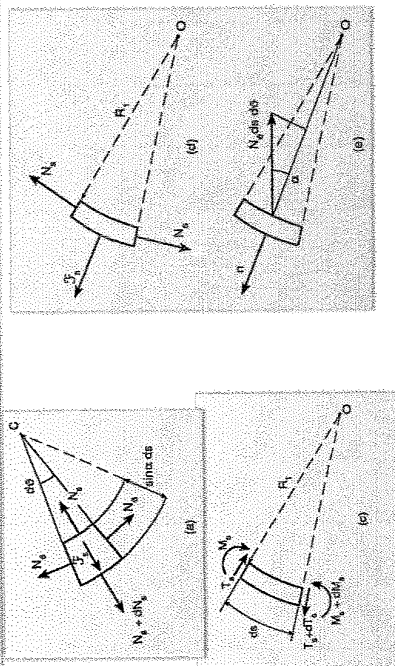
LASTRE DI RIVOLUZIONE CARICATE SIMMETRICAMENTE

EQUAZIONE DI EQUILIBRIO ALLA TRASLAZIONE LUNGO LA NORMALE n

La condizione di equilibrio alla traslazione lungo la normale n fornisce l'equazione:

$$-N_s \frac{ds}{R_1} d\vartheta - N_s ds d\vartheta \cos \alpha + dT_s r d\vartheta + T_s dr d\vartheta + T_s r ds d\vartheta + \mathcal{F}_n r ds d\vartheta = 0$$

La quale divisa per $r ds d\vartheta$ coincide con la seconda delle equazioni statiche.



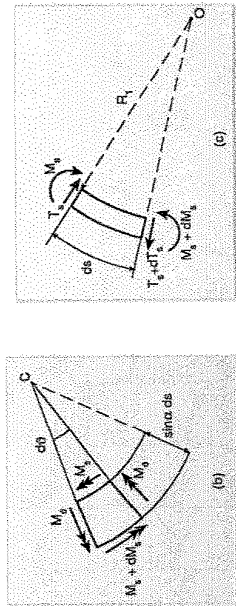
LASTRE DI RIVOLUZIONE CARICATE SIMMETRICAMENTE

EQUAZIONE DI EQUILIBRIO ALLA ROTAZIONE ATTORNO AI PARALLELI

La condizione di equilibrio alla rotazione attorno ai paralleli fornisce l'equazione:

$$-T_s r d\vartheta ds + dM_s r d\vartheta + M_s dr d\vartheta - M_s \sin \alpha ds d\vartheta = 0$$

La quale divisa per $r ds d\vartheta$ coincide con la terza delle equazioni statiche. Si noti come, nelle equazioni indefinite di equilibrio, vi siano dei contributi aggiuntivi che, ad esempio nel caso della lastra piana circolare, risultano non trascurabili. Tali contributi sono dovuti al fatto che i lati curvilinei paralleli dell'elemento di lastra differiscono della quantità $r ds d\vartheta$.



CASI PARTICOLARI

$$\frac{\sigma_c}{\sigma_t} = 0$$

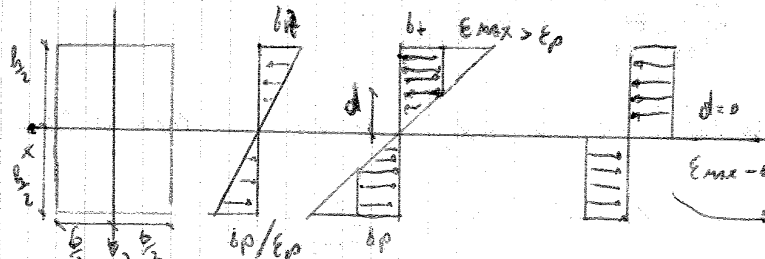
LA "COSTRIZIONE" OBBLIGA TUTTO LO SPOSTO FINO ALLA PULSIZIONE FINO AD AVERE SI È IN AGENZA DI SOSTAMENTI

$$\frac{\sigma_c}{\sigma_t} = 1$$

NON VI È LA ROSE INCELDONIE LO TAC BLOCCO U PULSIZIONE CONIACROMONAMENTO QUANDO $\frac{F}{b} = 2$

SEZIONE FLESSIONE DUEMO PUNTO

SEZIONE RETTANGOLARE DI MATERIALE PERFETTAMENTE PLASTICO SOGGETTO A MOMENTO FLESSORIO



(σ_p sia in compressione (suo in tensione))

LA PULSIZIONE COMPLETA DELLA SEZIONE AVVIENE QUANDO TUTTE LE FIBRE SI SONO PULSIZATE AVENDO $\sigma_{max} = \sigma_p$

LA TENSIONE σ_p NELLE FIBRE NON PUO' SUPERARE IL VALORE DI σ_p

MOMENTO PLASTICO

$$M_p = \sigma_p b \frac{h}{2} \frac{h}{2}$$

$$M_p = \frac{\sigma_p b h^2}{4}$$

LE FIBRE SOGGETTE A TENSIONE + TORSIONE ASSORBO UNO IL LORO SPAZIO ENTIRANDO A PULSIZIONE

MOMENTO DI PRIMA PULSIZIONE

$$M_e = \sigma_p \frac{b}{2} \frac{h}{2} \frac{1}{2} \cdot \frac{2}{3} h$$

$$M_e = \frac{\sigma_p b h^2}{6}$$

QUANDO SI PULSIZANO LE FIBRE + TORSIONE

$$\sigma_p = \frac{M_x}{I_x} y \rightarrow \epsilon = \frac{\delta}{E} = \frac{M_x}{I_x E} y = \chi_x y \rightarrow \chi_x = \frac{\epsilon_{max}}{b/2} = \frac{\sigma_p}{d}$$

LEGGI MOMENTO CURVATURA

$$M_x = 2 \int_0^d \sigma_p \frac{y}{d} y b dy + 2 \int_d^{h/2} \sigma_p dy dy$$

$$= 2 \int_0^{d \frac{\sigma_p}{\chi_x}} \sigma_p \frac{y}{d} \frac{\chi_x}{\sigma_p} b dy + 2 \int_d^{h/2} \sigma_p dy dy$$

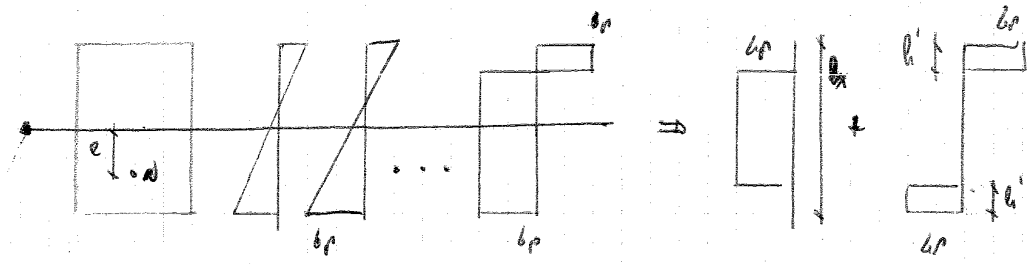
$$= 2 \sigma_p \left(\frac{b}{d \chi_x} \int_0^{d \frac{\sigma_p}{\chi_x}} y dy + \int_d^{h/2} y dy \right)$$

$$= 2 \sigma_p \left(\frac{b}{d \chi_x} \frac{y^2}{2} \Big|_0^{d \frac{\sigma_p}{\chi_x}} + \frac{y^2}{2} \Big|_d^{h/2} \right)$$

$$= 2 \sigma_p \left(\frac{b}{d \chi_x} \frac{d^2 \frac{\sigma_p^2}{\chi_x^2}}{2} + \frac{1}{2} \left(\frac{h^2}{4} - d^2 \right) \right)$$

$$d = \frac{\sigma_p}{\chi_x}$$

SFORZO NORMALE ECCENTRATO



PRIMA SI TRASLUCIAMO LE FORZE IN UNA PARTE O ALTRA
 DOPO CHE SI CALCOLA LA QUANTITÀ

$$N = \sigma_p b (h - 2h')$$

$$M = \sigma_p b \cdot h' \left(\frac{h}{2} - \frac{h'}{2} \right) 2 = \sigma_p b h' (h - h')$$

$$N_p = \sigma_p b h$$

$$M_p = 2\sigma_p b \left(\int_{h'}^{h/2} x^2 dx + \int_{h/2}^h x^2 dx \right) = 2\sigma_p b \frac{bh^2}{8} = \sigma_p b \frac{h^3}{4}$$

$$\frac{N}{N_p} = \frac{\sigma_p b (h - 2h')}{\sigma_p b h} = \frac{(h - 2h')}{h} = 1 - 2\frac{h'}{h}$$

$$\frac{M}{M_p} = \frac{\sigma_p b h' (h - h')}{\sigma_p b \frac{h^3}{4}} = 4 \left(1 - \frac{h'}{h} \right) \left(\frac{h'}{h} \right) = 4\frac{h'}{h} - 4\left(\frac{h'}{h}\right)^2$$

$$\left(\frac{N}{N_p} \right)^2 = \left(1 - 2\frac{h'}{h} \right)^2 = 1 + 4\left(\frac{h'}{h}\right)^2 - 4\frac{h'}{h} = 1 + \frac{M_p}{M_p} \rightarrow \boxed{\frac{M}{M_p} = 1 - \left(\frac{N}{N_p} \right)^2}$$

AMMINO POSSIBILE

TEOREMI POSITIVITÀ

TEOREMA DI TRESCA

TEOREMA DI VON MISES

→ AMMINO POSSIBILE

POSITIVITÀ DI DRUCKER

- TEOREMA MASSIMA ENERGIA DISSIPATA $\phi(\sigma_p)$
- TEOREMA STATICO CASO FORMALE STABILIMENTO AMMISSIBILE
- TEOREMA DINAMICO CASO FORMALE CINETICAMENTE AMMISSIBILE

TEORIA DELLA PLASTICITÀ

Prof. Ing. Giuseppe Andrea FERRO
Politecnico di Torino

18 novembre 2013

1

LINEARITÀ DEL PROBLEMA ELASTICO

In base alle ipotesi di comportamento elastico lineare del materiale e di piccoli spostamenti, il problema del solido elastico è risolvibile tramite l'equazione operatoriale di Lamé, il cui operatore è in ogni caso lineare. Se cioè $\{F\}$ e il vettore delle forze esterne ed $\{\eta\}$ è il corrispondente vettore degli spostamenti, moltiplicando le sollecitazioni per una costante c , anche gli spostamenti, e quindi le deformazioni e le caratteristiche statiche, risulteranno moltiplicati per la stessa costante:

$$[L]\{c\eta\} = -\{cF\}$$

Inoltre, se $\{F_a\}$, $\{F_b\}$ sono due diversi vettori delle forze esterne, ed $\{\eta_a\}$, $\{\eta_b\}$ i relativi campi di spostamento, nel caso di sovrapposizione delle forze anche per gli spostamenti varrà il Principio di Sovrapposizione degli Effetti:

$$[L]\{\eta_a + \eta_b\} = -\{F_a + F_b\}$$

3

INDICE

TEORIA DELLA PLASTICITÀ

ESEMPI DI NON LINEARITÀ MECCANICA

ANALISI LIMITE PLASTICA

- Teoremi

ANALISI INCREMENTALE PLASTICA DEI SISTEMI DI TRAVI

- Meccanismi di collasso

SISTEMI DI TRAVI CARICATI DA FORZE CONCENTRATE

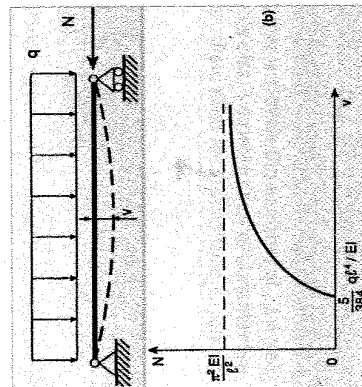
SISTEMI DI TRAVI CARICATI DA FORZE DISTRIBUITE

CARICHI CICLICI (SHAKE-DOWN)

2

NON LINEARITÀ GEOMETRICHE

Nel caso di instabilità euleriana si riscontra una non linearità di tipo geometrico. La teoria della plasticità, viceversa, analizza non linearità costitutive del materiale.



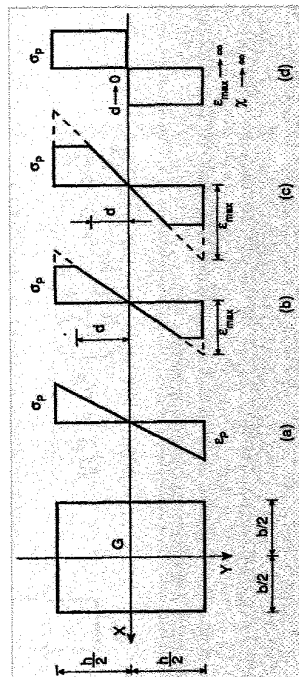
FLESSIONE ELASTO-PLASTICA

FLESSIONE ELASTO-PLASTICA

FLESSIONE ELASTO-PLASTICA

SEZIONE RETTANGOLARE

All'aumentare del momento flettente applicato, la sezione della trave rimane piana, pur plasticizzandosi parte di essa. Ciò equivale a considerare variazioni lineari della dilatazione assiale ϵ_x lungo l'altezza della trave. La tensione assiale σ_x non potrà superare il suo valore limite σ_p , e mostrerà, una volta superato il momento di prima plasticizzazione M_{p0} , una variazione lineare nella parte centrale della sezione e due pianerottoli nelle parti esterne. Nei diagrammi si riporta la successione degli andamenti che assumono lungo l'altezza sia ϵ_x che σ_x , uniformando le scale rispettivamente con i valori allo snervamento, ϵ_p e σ_p .



TEORIA DELLA PLASTICITÀ

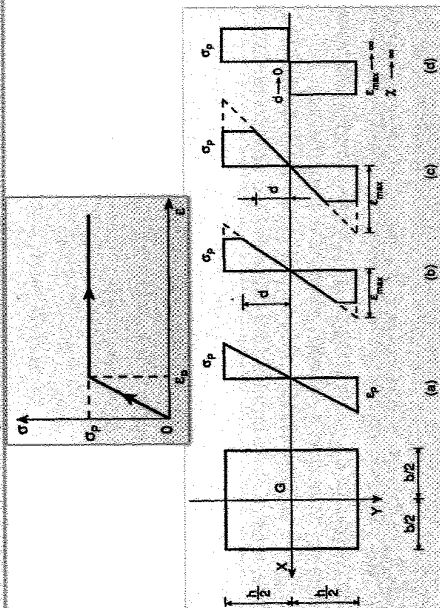
ESEMPI DI NON LINEARITÀ MECCANICA - SISTEMI DI TRAVI

Nel caso di sistemi di travi, la caratteristica prevalente è il momento flettente. In tali casi il **FLUSSO PLASTICO LOCALE** è rappresentato da una **ROTAZIONE LOCALIZZATA**. All'aumentare del numero di tali rotazioni, diminuirà contemporaneamente il grado di iperstaticità del telaio.

FLESSIONE ELASTO-PLASTICA

SEZIONE RETTANGOLARE

Si consideri la sezione rettangolare, di base b e altezza h , di una trave di materiale elastico-perfettamente plastico, con uguali modulo elastico E e tensione di snervamento σ_p , sia in trazione che in compressione.



FLESSIONE ELASTICO-PLASTICA

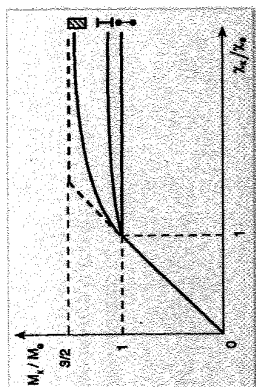
SEZIONE RETTANGOLARE

Poiché

$$M_e = \frac{\sigma_p}{W_x} \cdot \frac{h^2}{6} = \frac{2}{3} M_p$$

$$M_x = M_p \left[1 - \frac{1}{3} \frac{\chi_x^2}{\chi_p^2} \right]$$

$$\frac{M_x}{M_e} = \frac{3}{2} - \frac{1}{2} \left(\frac{\chi_x}{\chi_p} \right)^2$$



ove con χ_x si è indicata la curvatura all'atto della prima plasticizzazione. Il diagramma rappresenta quindi una legge lineare per $\chi_x < \chi_p$, ovvero $M_x < M_e$ e la legge iperbolica per $\chi_x > \chi_p$, ovvero $M_x > M_e$. Tale legge incrudente viene sostituita nella pratica dalla legge elastica-perfettamente plastica.

18

FLESSIONE ELASTICO-PLASTICA

SEZIONE RETTANGOLARE

Sostituendo la semi-estensione d della zona elastica con l'espressione derivante da:

$$\chi_x = \frac{\epsilon_{max}}{h/2} = \frac{\epsilon_p}{d}$$

si ha:

$$M_x = 2 \int_0^d \left(\sigma_p \frac{y}{d} \right) y b dy + 2 \int_d^{h/2} \sigma_p y b dy = 2 \int_0^{h/2} \sigma_p \frac{\chi_x}{\epsilon_p} y^2 b dy + 2 \int_{\epsilon_p/h}^{h/2} \sigma_p y b dy$$

$$= 2 \sigma_p b \left[\frac{\chi_x}{\epsilon_p} \int_0^{h/2} y^2 dy + \int_{\epsilon_p/h}^{h/2} y dy \right] = 2 \sigma_p b \left[\frac{\chi_x}{\epsilon_p} \left[\frac{y^3}{3} \right]_0^{h/2} + \left[\frac{y^2}{2} \right]_{\epsilon_p/h}^{h/2} \right]$$

$$= 2 \sigma_p b \left[\frac{\chi_x}{\epsilon_p} \frac{1}{3} \left(\frac{h^2}{4} - \frac{\epsilon_p^2}{\chi_x^2} \right) + \left[\frac{h^2}{8} - \frac{\epsilon_p^2}{2 \chi_x^2} \right] \right] = \sigma_p b \frac{h^2}{4} \left[1 - \frac{1}{3} \frac{\epsilon_p^2}{\chi_x^2} \right] = M_p \left[1 - \frac{1}{3} \frac{\epsilon_p^2}{\chi_x^2} \right]$$

Handwritten notes:

$$\frac{\epsilon_p^2}{8 \chi_x^2} \cdot \frac{h^2}{3}$$

$$\frac{1}{3} \left(\frac{h^2}{4} - \frac{\epsilon_p^2}{\chi_x^2} \right)$$

17

FLESSIONE ELASTICO-PLASTICA

SEZIONE A DOPPIA SIMMETRIA

Quando la sezione retta della trave è a doppia simmetria, la larghezza $b(y)$ resta sotto il segno di integrale:

$$M_x = 2 \sigma_p \left[\frac{\chi_x}{\epsilon_p} \int_0^{\epsilon_p/\chi_x} y^2 b(y) dy + \int_{\epsilon_p/\chi_x}^{h/2} y b(y) dy \right]$$

Il momento plastico vale dunque:

$$M_p = \lim_{\chi_x \rightarrow \infty} M_x = 2 \sigma_p \int_0^{h/2} y b(y) dy = 2 \sigma_p S_x^{A/2}$$

ove l'integrale rappresenta il momento statico $S_x^{A/2}$ di mezza sezione rispetto all'asse X. Si ha pertanto:

$$\frac{M_p}{M_e} = \frac{2 \sigma_p S_x^{A/2}}{\sigma_p W_x} = \frac{2 S_x^{A/2}}{W_x} = I_x$$

19

Handwritten notes:

$$\frac{h}{2} \cdot \frac{I_x}{W_x} = I_x$$

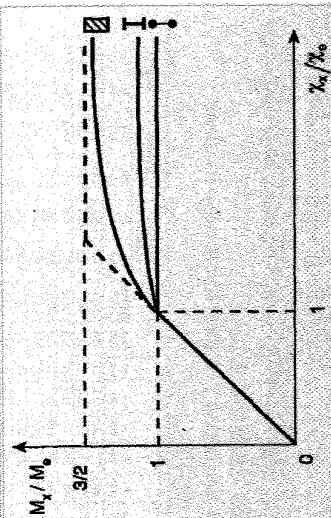
FLESSIONE ELASTICO-PLASTICA

SEZIONE A DOPPIA SIMMETRIA

Questo rapporto vale 1.5 nel caso di sezione rettangolare, mentre, nel caso limite di sezione costituita da due aree concentrate poste a distanza h , esso è pari all'unità. Ciò significa che in tal caso il momento di prima e quello di ultima plasticizzazione coincidono. Nel caso assai ricorrente di sezione a doppio I, non ci si discosta di molto dal caso limite appena considerato.

Le sezioni a doppio T sono quindi le più convenienti in regime elastico, mentre in regime plastico esse rivelano scarse riserve di capacità portante a flessione.

$$\frac{M_p}{M_e} = \frac{2 S_x^{A/2}}{W_x}$$



FISSIONE ELASTOPLASTICA

SFORZO NORMALE

Nel caso di **sforzamento normale centrato**, lo sforzo normale plastico vale:

$$N_p = \sigma_p A,$$

Per il **taglio retto** andrebbe considerato assieme a quello della flessione retta, sebbene in genere l'influenza di tale caratteristica sia trascurabile nell'ambito del calcolo plastico.

26

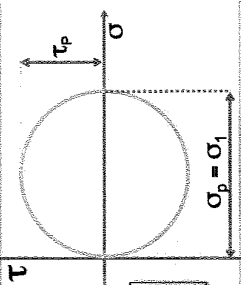
FISSIONE ELASTOPLASTICA

TORSIONE

Per quanto riguarda le altre caratteristiche interne, il **momento torcente** applicato ad una **sezione circolare** mostra un comportamento del tutto analogo a quello descritto in precedenza per il momento flettente retto. Il **momento torcente di prima plasticizzazione** vale infatti:

$$M_{ze} = \frac{I_p}{R} \tau_p = \frac{\pi R^3}{2} \tau_p,$$

$$\tau_p = \frac{1}{2} \sigma_p$$



Il momento torcente plastico risulta, d'altra parte, uguale al prodotto della tensione di snervamento τ_p per il momento statico polare della sezione:

$$M_{zp} = \frac{2\pi}{3} R^3 \tau_p.$$

Il rapporto M_{zp} / M_{ze} vale pertanto $4/3$.

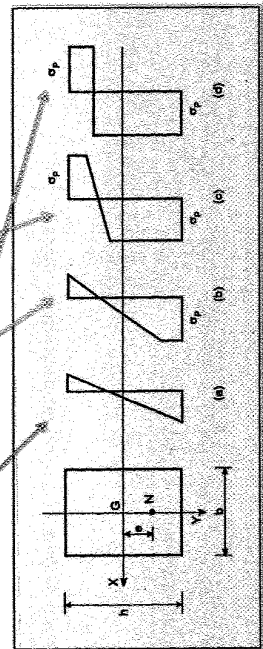
25

FISSIONE ELASTOPLASTICA

SEZIONE RETTANGOLARE - SFORZO NORMALE ECCENTRICO

Per una sezione rettangolare sollecitata dallo sforzo normale N , applicato sull'asse Y con eccentricità e , si susseguono quattro diverse fasi all'aumentare di N . Tali fasi sono relative alle condizioni seguenti:

- (a) elastica;
- (b) elasto-plastica, con snervamento solo ad un lembo;
- (c) elasto-plastica, con snervamento ad entrambi i lembi;
- (d) di completa plasticizzazione.

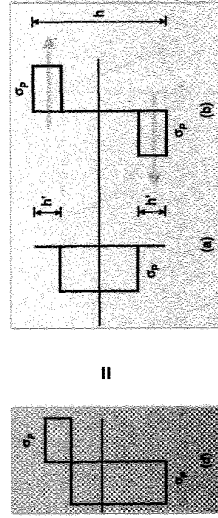


27

FISSIONE ELASTOPLASTICA

SEZIONE RETTANGOLARE - SFORZO NORMALE ECCENTRICO

Il diagramma nel caso di **completa plasticizzazione** può decomporre nella parte centrale che rappresenta la forza risultante N e nella coppia di risultanti delle zone esterne che rappresentano il momento $M = Ne$:



$$N = \sigma_p b(h - 2h')$$

$$M = \sigma_p b h'(h - h')$$

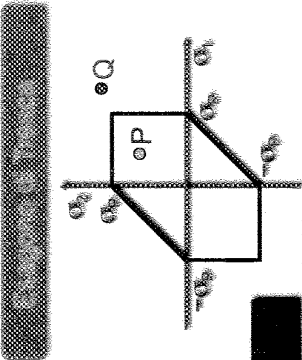
28

TEOREMI DELL'ANALISI LIMITE PLASTICA

CRITERIO DI TRESCA

Caso biassiale ($\sigma_3 = 0$)

$$\begin{aligned} |\sigma_1| &< \sigma_p \\ |\sigma_2| &< \sigma_p \\ |\sigma_1 - \sigma_2| &< \sigma_p \end{aligned}$$



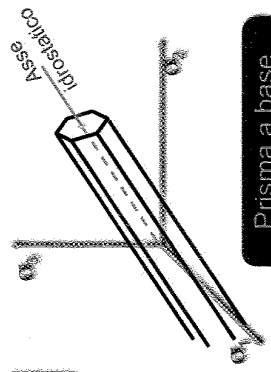
P (σ_1, σ_2): verificato
 Q (σ_1, σ_2): non verificato!

TEOREMI DELL'ANALISI LIMITE PLASTICA

CRITERIO DI TRESCA

Rappresentazione nello spazio $\sigma_1, \sigma_2, \sigma_3$

$$\begin{aligned} |\sigma_1 - \sigma_2| &< \sigma_p \\ |\sigma_1 - \sigma_3| &< \sigma_p \\ |\sigma_2 - \sigma_3| &< \sigma_p \end{aligned}$$



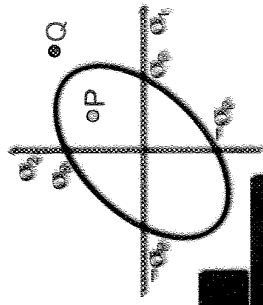
Prisma a base esagonale

TEOREMI DELL'ANALISI LIMITE PLASTICA

CRITERIO DI VON MISES

Stato tensionale piano ($\sigma_3 = 0$)

$$(\sigma_1^2 + \sigma_2^2 - \sigma_1\sigma_2) \leq \sigma_p^2$$



Ellisse con asse maggiore sui quadranti positivi

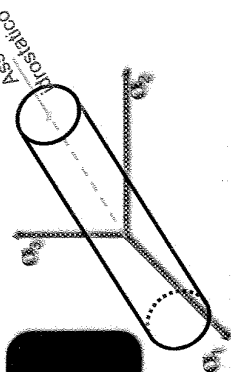
P (σ_1, σ_2): verificato
 Q (σ_1, σ_2): non verificato!

TEOREMI DELL'ANALISI LIMITE PLASTICA

CRITERIO DI VON MISES

Rappresentazione nello spazio $\sigma_1, \sigma_2, \sigma_3$

$$[(\sigma_1^2 + \sigma_2^2 + \sigma_3^2) - (\sigma_1\sigma_2 + \sigma_1\sigma_3 + \sigma_2\sigma_3)] \leq \sigma_p^2$$



Cilindro a base circolare indefinito sull'asse idrostatico

La frontiera è continua e descritta da una sola equazione

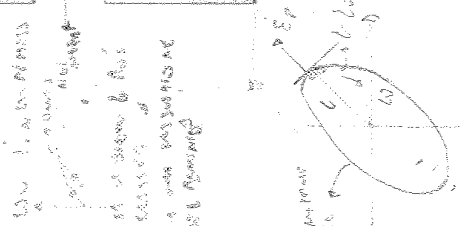
TEOREMI DELL'ANALISI LIMITE PLASTICA

LEGGE DI NORMALITÀ DELLA DEFORMAZIONE INCREMENTALE PLASTICA

Il dominio elastico include l'origine, e pertanto la disequazione, quando $\{\sigma_0\} = \{0\}$, diventa:

$$\{\sigma\} - \{\sigma_0\} \{ \dot{\epsilon}_p \} \geq 0 \quad \rightarrow \quad \{\sigma\}^T \{ \dot{\epsilon}_p \} = \Phi(\{ \dot{\epsilon}_p \}) \geq 0$$

Φ rappresenta l'energia dissipata nell'unità di volume e risulta essere funzione solo della deformazione incrementale plastica.
Questa considerazione resta valida anche quando la superficie di plasticizzazione presenta punti angolosi e tratti lineari. Perciò, la seguente asserzione è equivalente al **Postulato di Drucker**: l'energia dissipata nell'unità di volume è funzione soltanto della deformazione incrementale plastica.
Da questa asserzione, peraltro, è possibile dedurre la legge di normalità e la convessità della superficie di plasticizzazione.



TEOREMI DELL'ANALISI LIMITE PLASTICA

LEGGE DI NORMALITÀ DELLA DEFORMAZIONE INCREMENTALE PLASTICA

Ciascuno stato tensionale $\{\sigma\}$ capace di produrre la deformazione incrementale plastica $\{\dot{\epsilon}_p\}$ deve trovarsi sul piano normale a $\{\dot{\epsilon}_p\}$ e distante $\Phi(\{ \dot{\epsilon}_p \})$ dall'origine. Facendo ruotare $\{\dot{\epsilon}_p\}$ attorno all'origine, tutti questi piani inviluppano la superficie di plasticizzazione, che risulta quindi essere convessa.
Se $\{\sigma\}$ è il vettore incrementale di tensione corrispondente alla deformazione incrementale plastica $\{\dot{\epsilon}_p\}$, si ha:

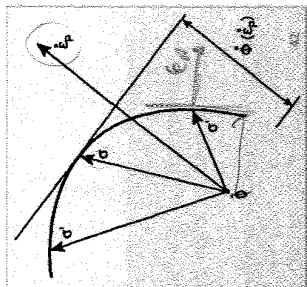
$$\{\dot{\sigma}\}^T \{ \dot{\epsilon}_p \} \geq 0,$$

assumendo $\{\sigma\}$ come stato tensionale iniziale.

$$(\{\sigma\} - \{\sigma_0\})^T \{ \dot{\epsilon}_p \} \geq 0$$

Per un materiale elastico-perfettamente plastico si ha in particolare:

$$\{\dot{\sigma}\}^T \{ \dot{\epsilon}_p \} = 0,$$



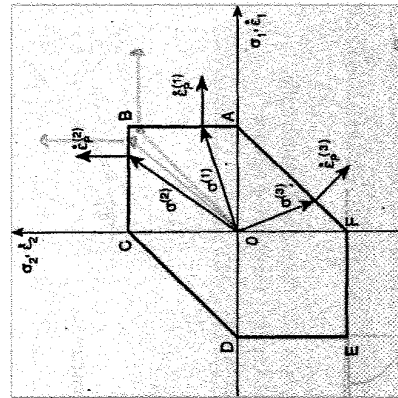
TEOREMI DELL'ANALISI LIMITE PLASTICA

LEGGE DI NORMALITÀ DELLA DEFORMAZIONE INCREMENTALE PLASTICA

mentre per un materiale ad incrudimento negativo (softening) risulta:

$$\{\dot{\sigma}\}^T \{ \dot{\epsilon}_p \} < 0,$$

In figura è rappresentato il criterio di Tresca in due dimensioni e i relativi meccanismi di flusso plastico (deformazioni incrementali plastiche). Lungo i lati AB, BC, DE, EF, si attiva solo una delle due dilatazioni principali ϵ_1, ϵ_2 , mentre lungo i lati CD ed FA, una dilatazione risulta positiva e l'altra negativa. Esse sono attivate contemporaneamente e con pari intensità.

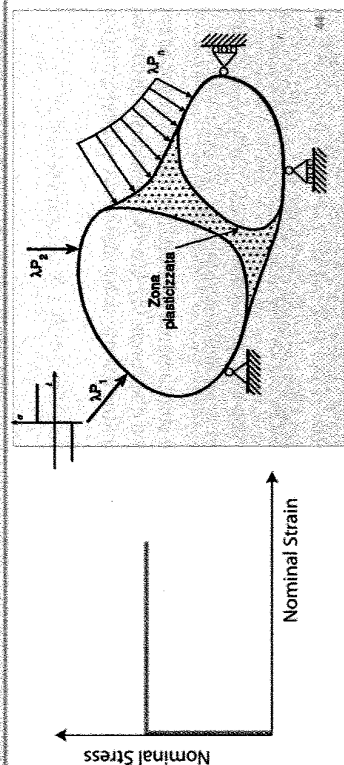


TEOREMI DELL'ANALISI LIMITE PLASTICA

TEOREMI DELL'ANALISI LIMITE PLASTICA

Si consideri un solido rigido-perfettamente plastico, soggetto ad una condizione di carico proporzionale, misurato dal parametro λ .

Un campo tensionale è detto staticamente ammissibile quando esso è in equilibrio con il carico esterno e in ciascun punto del solido si ha $F \leq F_0$.
Viceversa, un meccanismo di collasso è detto cinematicamente ammissibile quando i vincoli esterni sono rispettati e la corrispondente energia dissipata risulta positiva.



D) AGGIUNTA DI MATERIALE

Un incremento dimensionale di un solido perfettamente plastico non può produrre un decremento del carico di collasso.

La somma del campo tensionale di collasso nel solido originale e di un campo tensionale identicamente nullo nella porzione di materiale aggiunta, costituisce un campo tensionale staticamente ammissibile. Ciò significa che *il carico di collasso del nuovo solido risulta essere maggiore o uguale a quello del solido originale, e sicuramente non minore.*

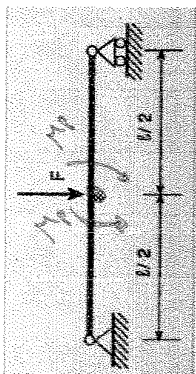
Le proprietà di convessità del dominio elastico e di normalità della deformazione incrementale plastica, nonché i teoremi dell'analisi limite, per i solidi tridimensionali, possono essere facilmente estesi ai solidi bidimensionali (lastre) e unidimensionali (travi), sostituendo al vettore dello stato tensionale, $\{\sigma\}$, il vettore delle caratteristiche statiche, $\{Q\}$, e al vettore delle deformazioni incrementali plastiche, $\{\epsilon_p\}$, il vettore incrementale delle caratteristiche deformative, $\{q_p\}$.

ANALISI INCREMENTALE PLASTICA DEI SISTEMI DI TRAVI

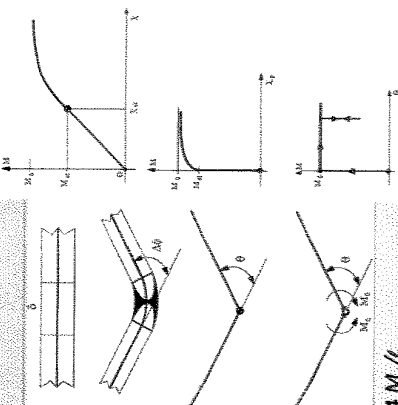
STRUTTURE ISOSTATICHE

Trave appoggiata con forza in mezzzeria. Il collasso plastico si raggiunge non appena il momento in mezzzeria uguagli il momento plastico:

$$\frac{1}{4} F_p l = M_p$$



da cui si ottiene il carico di collasso $F_p = 4 M_p / l$. A quel punto si crea una cerniera plastica in mezzzeria, una cerniera cioè dotata di una reazione rotazionale costante e uguale a M_p .

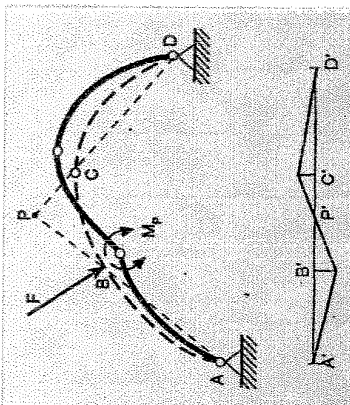


ANALISI INCREMENTALE PLASTICA DEI SISTEMI DI TRAVI

FATTORE DI SICUREZZA

Il fattore di sicurezza vale 3/2 per tutti i sistemi isostatici di travi. Inflexe a sezione rettangolare, (trascurando i contributi dello sforzo normale e del taglio). La formazione di un'unica cerniera plastica conduce infatti il sistema direttamente al collasso.

Nelle travature reticolari isostatiche, tale fattore è invece uguale a 1. Nel caso invece dei sistemi iperstatici di travi inflesse, il fattore di sicurezza è generalmente maggiore di 3/2. La formazione della prima cerniera plastica non produce infatti il collasso della struttura. In generale si può affermare che in un telaio n volte iperstatico, il numero delle cerniere plastiche che si attivano per il collasso è minore o uguale ad (n+1).



Il sistema è iperstatico con 3 vincoli e 1 carico mobile. Il sistema è iperstatico con 3 vincoli e 1 carico mobile.

ANALISI INCREMENTALE PLASTICA DEI SISTEMI DI TRAVI

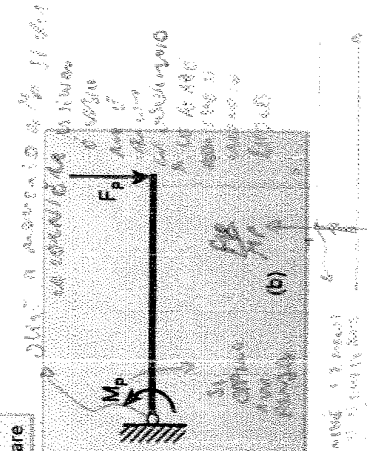
CERNIERA PLASTICA PER SEZIONI RETTANGOLARI

A quel punto si produce una rotazione localizzata nella sezione d'incastro mentre il momento d'incastro non può crescere ulteriormente e resta stazionario al suo valore limite M_p . Questo fenomeno viene rappresentato inserendo una cerniera al posto dell'incastro e applicando un momento M_p nelle adiacenze della cerniera. La cerniera permette infatti rotazioni localizzate, mentre il momento M_p rappresenta la reazione rotazionale esplicitata dalla sezione d'incastro. Il sistema è quindi diventato labile, ma è in equilibrio per la particolare condizione di carico.

per sezione rettangolare

$$F_p = \frac{3}{2} F_c$$

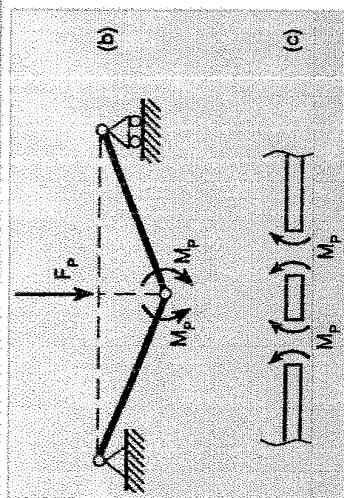
F_c = massima forza applicabile nell'ambito del criterio delle tensioni ammissibili. Il rapporto 3/2 rappresenta quindi una sorta di fattore di sicurezza nell'ambito del criterio delle tensioni ammissibili, nei confronti dello stato ultimo plastico.



ANALISI INCREMENTALE PLASTICA DEI SISTEMI DI TRAVI

STRUTTURE ISOSTATICHE

I momenti M_p agenti nello schema tendono ad opporsi all'azione del carico esterno e a far ruotare i due bracci in senso inverso a quello del meccanismo di collasso. In questo caso il meccanismo è in equilibrio per la particolare condizione di carico. Tale condizione di equilibrio è indifferente per piccoli spostamenti. Se si isola il concio di trave plasticizzato, i momenti M_p agenti sul concio stesso e sui due bracci della trave tendono in tutti i casi le fibre longitudinali inferiori.



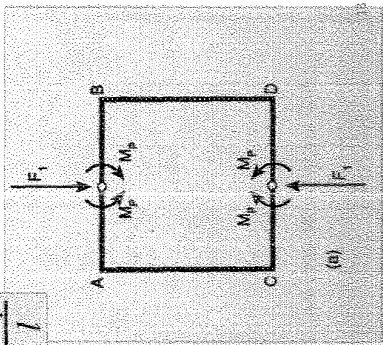
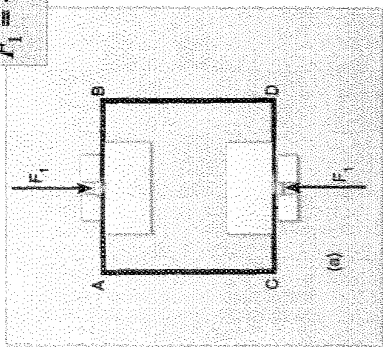
$M_p = M_{pl} = \frac{1}{2} F_p \cdot \frac{l}{2}$
 $M_p = \frac{1}{4} F_p l$
 $F_p = \frac{4 M_p}{l}$

ANALISI INCREMENTALE E PLASTICA DEI SISTEMI DI TRAVI

MAGLIA CHIUSA

Il massimo momento flettente in fase elastica è dunque pari a $3/16 Fl$ nelle sezioni soggette alle forze F_1 , per cui il valore delle forze F_1 che produce le prime due cerniere plastiche è pari a:

$$F_1 = \frac{16 M_P}{3 l}$$



ANALISI INCREMENTALE PLASTICA DEI SISTEMI DI TRAVI

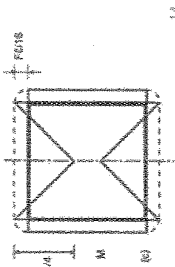
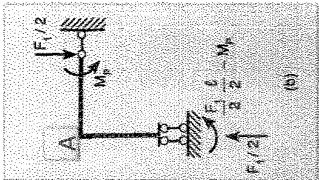
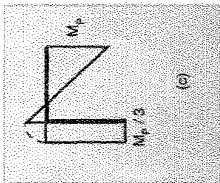
MAGLIA CHIUSA

Le successive quattro cerniere si formano contemporaneamente in A, B, C, D, quando il momento nei nodi raggiunge anch'esso il valore M_P , all'aumentare delle forze esterne F :

$$M_A = \frac{Fl}{4} - M_P = M_P$$

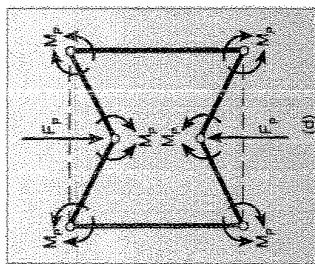
da cui si ricava il carico di collasso:

$$F_2 = F_P = \frac{8M_P}{l}$$



ANALISI INCREMENTALE PLASTICA DEI SISTEMI DI TRAVI

FATTORE DI SICUREZZA



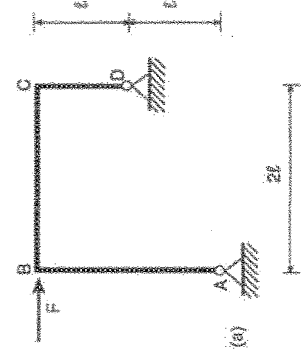
$$\frac{F_P}{F_c} = \frac{F_2}{F_1} = \frac{2}{3} \frac{8M_P}{\frac{16M_P}{3l}} = \frac{2}{3} \frac{8M_P}{\frac{16M_P}{3l}} = \frac{9}{4}$$

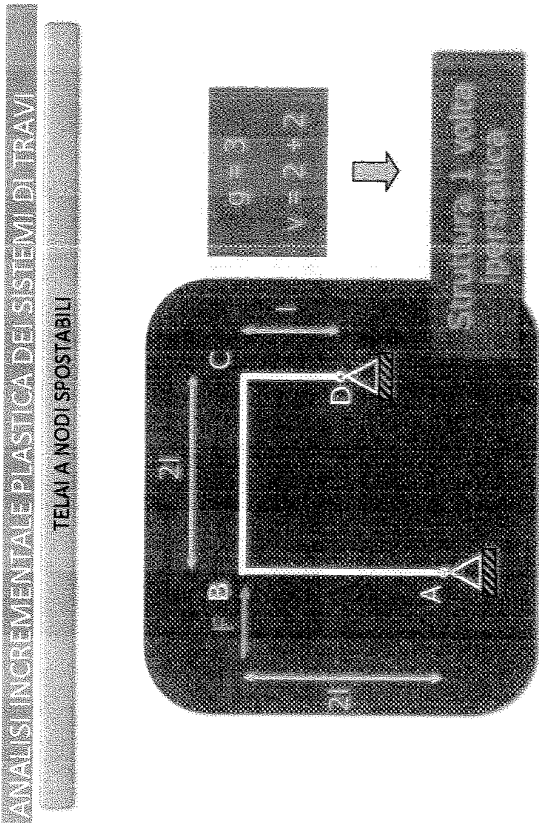
Il fattore di sicurezza, nell'ambito del criterio delle tensioni ammissibili e nei confronti del collasso plastico, sempre nell'ipotesi di sezione rettangolare vale nel presente caso:

ANALISI INCREMENTALE PLASTICA DEI SISTEMI DI TRAVI

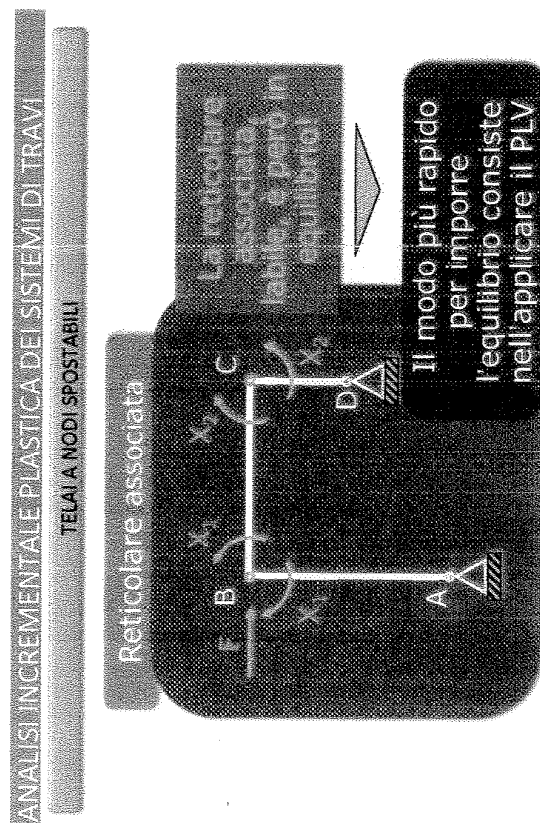
TELAI A NODI SPOSTABILI

Nel caso del portale zoppo, si determini la forza che provoca la formazione della prima cerniera plastica mediante il metodo dei telai.

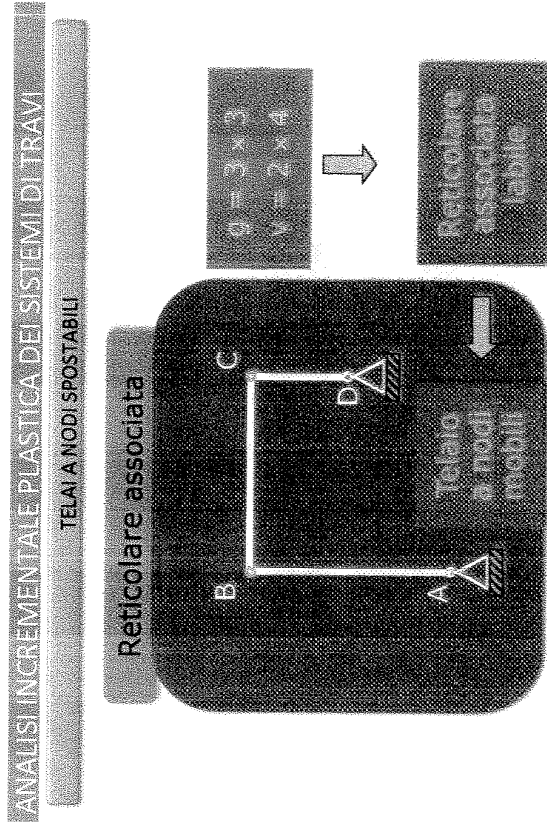




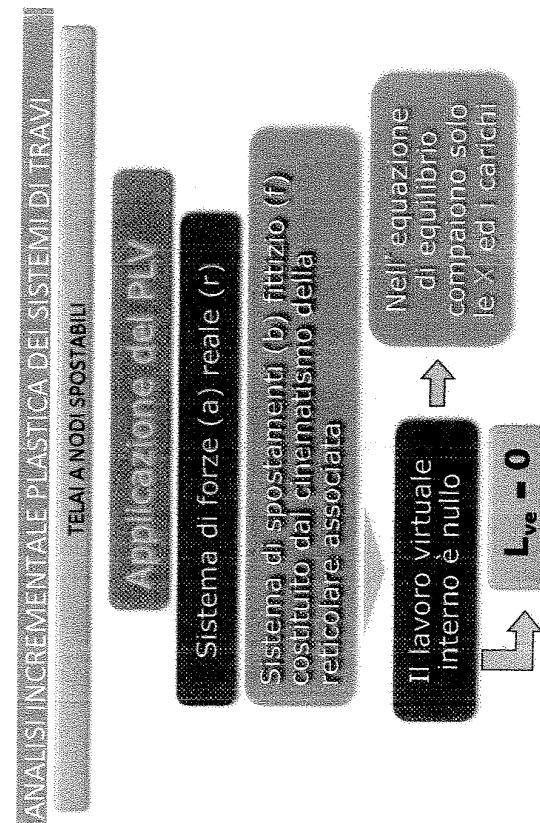
21



23



22

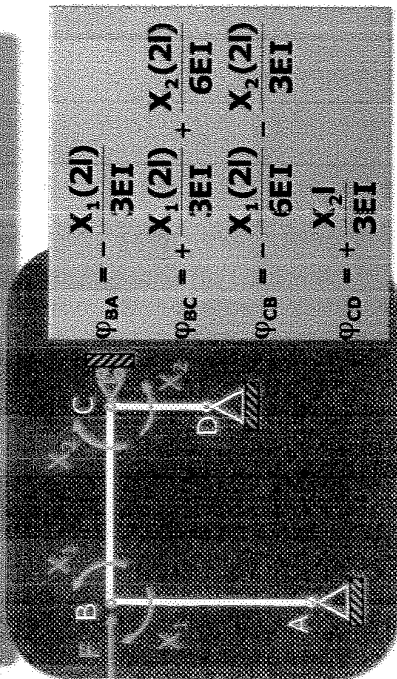


24

ANALISI INCREMENTALE PLASTICA DEI SISTEMI DI TRAVI

TELA I A NODI SPOSTABILI

Componenti di rotazione elastica



$$\begin{aligned} \varphi_{BA} &= -\frac{X_1(2l)}{3EI} \\ \varphi_{BC} &= +\frac{X_1(2l)}{3EI} + \frac{X_2(2l)}{6EI} \\ \varphi_{CB} &= -\frac{X_1(2l)}{6EI} - \frac{X_2(2l)}{3EI} \\ \varphi_{CD} &= +\frac{X_2 l}{3EI} \end{aligned}$$

29

ANALISI INCREMENTALE PLASTICA DEI SISTEMI DI TRAVI

TELA I A NODI SPOSTABILI

Equazioni di congruenza angolare

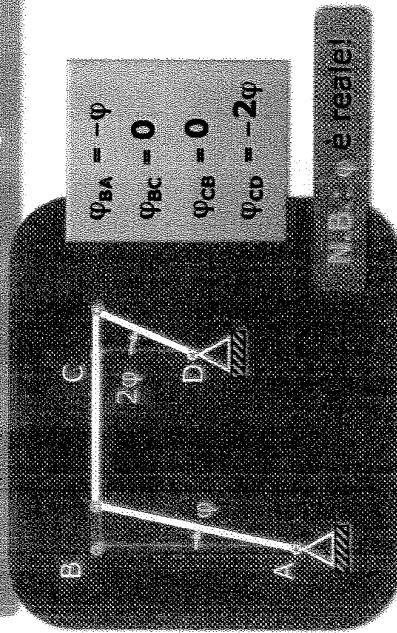
$$\left. \begin{aligned} \varphi_{BA} &= \varphi_{BC} \\ \varphi_{CB} &= \varphi_{CD} \end{aligned} \right\}$$

31

ANALISI INCREMENTALE PLASTICA DEI SISTEMI DI TRAVI

TELA I A NODI SPOSTABILI

Componenti di rotazione rigida



$$\begin{aligned} \varphi_{BA} &= -\varphi \\ \varphi_{BC} &= 0 \\ \varphi_{CB} &= 0 \\ \varphi_{CD} &= -2\varphi \end{aligned}$$

N.B. - phi è reale!

30

ANALISI INCREMENTALE PLASTICA DEI SISTEMI DI TRAVI

TELA I A NODI SPOSTABILI

Equazioni di congruenza angolare

$$\left. \begin{aligned} -\frac{X_1(2l)}{3EI} - \varphi &= +\frac{X_1(2l)}{3EI} + \frac{X_2(2l)}{6EI} \\ -\frac{X_1(2l)}{6EI} - \frac{X_2(2l)}{3EI} &= +\frac{X_2 l}{3EI} - 2\varphi \end{aligned} \right\}$$

32